

Trabajo Fin de Grado

Sistema de monitorización climática para agricultura, mediante el uso de tecnologías IoT

Agriculture climatic monitoring system, using IoT technologies

Autor/es
Javier Perales Gran

Director/es
José Antonio Perales Gran

Titulación del autor
Grado en Ingeniería de Tecnologías y Servicios de Telecomunicación

ESCUELA DE INGENIERÍA Y ARQUITECTURA
2021

Resumen: Sistema de monitorización climática para agricultura, mediante el uso de tecnologías IoT

Buscamos desarrollar un sistema para monitorizar las variables climáticas en tiempo real, con el objetivo de detectar precozmente las condiciones para el desarrollo de enfermedades fúngicas en cultivos agrícolas de frutales y viña, para minimizar el daño producido por estas enfermedades, y reducir el uso de pesticidas. Para ello, en el marco de la empresa Agroprediccion, se ha diseñado y construido un dispositivo electrónico alimentado por batería recargable, capaz de obtener información de un sensor de temperatura y humedad, y otro de humectación de hoja, en un entorno remoto. Además, este dispositivo es capaz de enviar la información a la nube de forma desatendida mediante las redes de telefonía móvil de tipo NB-IoT, LTE-M y GSM, y utilizando el protocolo de mensajería MQTT en la capa de aplicación.

También se ha desplegado en la nube un broker MQTT, al que se conecta el dispositivo, y un servidor Node.js que hemos desarrollado, que se conecta al broker MQTT y se encarga de procesar los mensajes recibidos para almacenarlos en una base de datos PostgreSQL. Así mismo, este servidor permite crear y consultar en base de datos, mediante una API REST, usuarios, clientes, o fincas, entre otras cosas. Por último, se ha creado una interfaz de usuario que se comunica con el servidor Node.js, y permite iniciar sesión a un usuario, crear y consultar fincas, puntos geográficos de instalación para los dispositivos sensores y visualizar de forma gráfica la información del histórico de temperatura y humedad de los dispositivos asociados a una finca.

Tabla de contenidos

1. Introducción.....	1
1.1. Motivación.....	1
1.2. Contexto.....	1
1.3. Objetivos y alcance.....	2
1.3.1. Funcionalidad del sistema.....	3
1.4. Metodología.....	3
1.5. Contenido de la memoria.....	4
2. Estado del arte.....	5
2.1. Tecnologías de conectividad inalámbrica.....	5
2.1.1. Redes celulares de telefonía móvil.....	5
2.1.2. Sigfox.....	6
2.1.3. Otras alternativas.....	7
2.1.4. Elección final.....	7
2.2. Protocolos de aplicación: HTTP y MQTT.....	8
2.2.1. HTTP.....	8
2.2.2. MQTT.....	9
2.2.3. Comparativa.....	10
3. Diseño e implementación.....	13
3.1. Arquitectura general.....	13
3.2. Software utilizado.....	14
3.3. Dispositivo electrónico.....	15
3.3.1. Plataforma de desarrollo.....	15
3.3.2. Arquitectura de hardware.....	17
3.3.3. Diseño del esquemático.....	18
3.3.4. Diseño de la PCB.....	19
3.3.5. Fabricación y montaje de la PCB.....	20
3.3.6. Software embebido.....	22
3.4. Sistema de información.....	25
3.4.1. Tecnologías utilizadas.....	25
3.4.2. Entorno de desarrollo.....	27
3.4.3. Servidor Node.js.....	27
3.5. Interfaz de usuario.....	30
3.6. Despliegue en la nube.....	33
4. Conclusiones.....	35
4.1. Aprendizajes y errores.....	35
4.2. Trabajos futuros.....	35
4.3. Reflexión final.....	36
Bibliografía.....	37
Índice de figuras.....	43
Índice de tablas.....	43
Anexo I: Prueba de concepto.....	44
I.1. Prototipo con Arduino.....	44
I.2. Arduino personalizado.....	44
I.3. Pruebas de campo.....	45
Anexo II: Detalles de diseño del dispositivo electrónico.....	48
II.1. Circuitos de alimentación.....	48
II.2. Microcontrolador y comunicaciones.....	50
Anexo III: Diseño de un sensor de humectación de hoja.....	51
Anexo IV: Valoración de costes.....	55
Anexo V: Estructura de datos. Modelo entidad-relación.....	56

1. Introducción

En este capítulo se describe la necesidad que pretendemos solucionar con el proyecto, se detalla el contexto en el que se lleva a cabo, los objetivos del proyecto en su totalidad, y el alcance del trabajo académico. Además de una explicación de la metodología utilizada para su desarrollo.

1.1. Motivación

El presente proyecto surge de una idea de mi hermano José Antonio, Ingeniero Técnico Agrícola y director del proyecto. Se trataba de encontrar una forma de detectar precozmente las condiciones para el desarrollo de enfermedades fúngicas en los cultivos. Esto permitiría minimizar los daños provocados por estas enfermedades, al poder tratarlas a tiempo, antes de que los daños se hagan visibles, lo que ya sería demasiado tarde para preservar la calidad del fruto y la salud de los árboles. Al mismo tiempo, esto podría reducir el uso de fungicidas frente a un enfoque de uso preventivo, en el que se apliquen estos productos sin información precisa acerca de las condiciones climáticas de proliferación de los hongos que provocan la enfermedad. Así pues, los potenciales usuarios del sistema son agricultores de cultivos intensivos (principalmente frutales y viña), interesados en mejorar la salud de sus plantaciones, y ahorrar dinero y tiempo en aplicar fungicidas.

1.2. Contexto

Tras comprobar que existían modelos matemáticos predictivos para algunas enfermedades como el *Moteado* del manzano, o el *Mildiu* de la vid, basados en variables climáticas tales como la temperatura del aire, la humedad relativa del aire, y la humectación de las hojas, nos dispusimos a investigar las soluciones existentes para medir estas variables. Descubrimos diferentes opciones en el mercado como los dispositivos de Metos¹, Libelium² y posteriormente Cesens³. Sin embargo, estas empresas no ofrecían un servicio completo para el agricultor, sino más bien un “hazlo tú mismo”, y aunque en otros casos sí ofrecían un servicio orientado al agricultor, los precios de este tipo de dispositivos eran demasiado elevados para ser rentabilizados por explotaciones agrícolas frutales, y su nicho de mercado se limitaba casi en exclusiva a la viña, por ser un cultivo con mayor rentabilidad, cuyos márgenes sí admiten esos costes. Por este motivo nos planteamos desarro-

1 <https://metos.at/es/>

2 <https://www.libelium.com/>

3 <https://www.cesens.es/>

llar una solución integral de bajo coste⁴, que fuese viable para un número amplio de explotaciones agrícolas.

En el año 2018 constituimos una sociedad para desarrollar el proyecto, Agroprediccion SL, y comencé a montar prototipos electrónicos para la recogida de los datos en el campo en tiempo real. Tras varios tropiezos y aprendizajes sobre diseño de electrónica, y tras un par de años de experiencia a tiempo parcial en una empresa de desarrollo de software, este trabajo presenta el desarrollo de un prototipo funcional, a partir del cual se pretende lanzar un producto mínimo viable al mercado.

1.3. Objetivos y alcance

El objetivo último del proyecto es desarrollar un sistema integral de recogida y procesamiento de datos climáticos en tiempo real, que alerte a los agricultores del nivel de riesgo de enfermedades. Esto incluye el desarrollo de un dispositivo electrónico al que se puedan conectar diferentes sensores climáticos, que sea resistente a las inclemencias meteorológicas, envíe los datos a Internet en tiempo real de manera autónoma, sea energéticamente independiente, y en definitiva, que pueda funcionar ininterrumpidamente con la mínima intervención humana durante, al menos, 1 año.

Entre los objetivos también se incluye el desarrollo de un sistema de información que reciba las lecturas de los sensores, las almacene en una base de datos, y procese los datos aplicando los modelos matemáticos de riesgo para enviar alertas a los agricultores. Así mismo deben poder visualizarse de forma gráfica las lecturas de los sensores de un dispositivo: temperatura, humedad, humectación de hoja y otros sensores.

Los objetivos anteriormente expuestos son los objetivos generales del proyecto. Sin embargo, considero que el desarrollo con detalle del sistema completo mencionado excede la extensión que debe tener un Trabajo de fin de grado, por lo que el alcance de esta memoria se limitará al desarrollo de un prototipo electrónico que recoja la lectura de humedad y temperatura de un sensor y envíe datos a un servidor en Internet, el desarrollo y configuración de un sistema de información que recoja y almacene los datos recibidos, y el desarrollo de una interfaz web que permita ver de forma gráfica los datos recogidos. Es decir, será un sistema similar al objetivo final, pero sin algunas características, como el procesamiento de modelos matemáticos, el envío de alertas a los clientes, y otras carac-

⁴ Ver el anexo “Valoración de costes”

terísticas que serían deseables en un producto comercial, pero cuyo desarrollo llevaría mucho tiempo.

1.3.1. Funcionalidad del sistema

Prototipo electrónico. Se realizará una placa de circuito electrónico (PCB), que sea capaz de alimentarse a partir de una batería recargable, que tenga un sistema de comunicaciones inalámbricas para el envío de los datos de los sensores, y a la que se pueda conectar, al menos, un sensor que mida la humedad ambiental y la temperatura del aire. Además, se desarrollará el software embebido necesario para recoger los datos de humedad y temperatura del sensor, y enviarlos periódicamente a un servidor en Internet.

Sistema de información. Se configurará y desarrollará un servidor en la nube que sea capaz de recibir los datos del sensor con el mismo protocolo de aplicación con el que los envía la placa electrónica. Por cada mensaje recibido, la lectura de los sensores se almacenará en una base de datos junto con la fecha y hora para su posterior consulta. Además, el sistema tendrá puntos de acceso a la información mediante una API REST⁵ que permitan la consulta de los datos desde una interfaz web SPA (*Single Page Application*)⁶.

Interfaz de usuario. Se desarrollará una aplicación web que permita ver el histórico de los valores de humedad y temperatura del dispositivo mediante gráficos.

1.4. Metodología

Se ha utilizado la herramienta de planificación Notion⁷, principalmente una lista de tareas jerarquizadas. En el caso de la escritura de la memoria, se creó un tablero, y se fueron definiendo los capítulos y secciones que quería que tuviera en un principio, marcando las secciones a medida que las iba escribiendo. Cuando me daba cuenta de que alguna sección definida era mejor fusionarla con otra, o me percataba de que debía añadir otra nueva, lo cambiaba en la lista de tareas. En el caso del diseño e implementación la metodología ha sido la misma, se definían tareas en una lista, a diferentes niveles de detalle. Por

5 API: «Es un conjunto de subrutinas, funciones y métodos que ofrece cierta biblioteca para ser utilizada por otro software como una capa de abstracción servicios disponibles para un programador para realizar ciertas tareas.» [1]
REST: Es un estilo de arquitectura software para sistemas hipermedia, por ejemplo web. Se caracteriza por ser una arquitectura cliente-servidor, sin estado y con una interfaz uniforme. [2]
Es una de las arquitecturas para transferencia de datos más utilizadas en la web.

6 SPA: Aplicación web que requiere una única carga de página, descargando en el primer acceso todo el código HTML, Javascript y CSS de todas las páginas. Evitando así actualizaciones de la página en el navegador, haciendo la experiencia de usuario más fluida. Los recursos necesarios se cargan dinámicamente de forma transparente para el usuario mediante peticiones asíncronas. [3]

7 <https://www.notion.so>

ejemplo, en un nivel “diseñar el dispositivo electrónico”, dentro “pensar los bloques funcionales”, etc. Y se iban marcando una vez completadas, para tener una visión general del estado del proyecto en todo momento. En el caso del software realizado (software embocado del dispositivo, servidor Node.js y aplicación web con React), se ha utilizado el sistema de control de versiones Git⁸, con un repositorio privado para cada parte en la plataforma Bitbucket⁹.

1.5. Contenido de la memoria

Pasamos a describir brevemente el contenido de los siguientes capítulos. En “estado del Arte” presentamos alternativas de conectividad inalámbrica y protocolos de la capa aplicación, y elegimos los más adecuados para el desarrollo del proyecto. En “diseño e implementación” mostramos la arquitectura general del sistema, y explicamos los trabajos realizados para el diseño del dispositivo electrónico, del sistema de información, de la interfaz de usuario y el despliegue de todo ello en la nube. En el apartado de “conclusiones” mostramos los aprendizajes y errores que se han cometido en el desarrollo del proyecto, y algunos trabajos futuros que se podrían desarrollar sobre la base del mismo. Por último, tenemos varios anexos en los que presentamos una prueba de concepto que se llevó a cabo, se hace una valoración de los costes del proyecto, entramos más en detalle en el diseño de los circuitos electrónicos del dispositivo y de un sensor que se ha diseñado, y adjuntamos un diagrama con la estructura de la base de datos.

8 Sistema de control de versiones distribuido, de código abierto. Es el más utilizado en la industria del software.

9 <https://bitbucket.org/>

2. Estado del arte

En este capítulo tratamos los dos aspectos de la rama telemática más importantes para el desarrollo del proyecto: las tecnologías de conectividad inalámbrica, y los protocolos de aplicación para el envío de pequeños paquetes de datos. Presentamos las tecnologías candidatas, y explicamos razonadamente la elección realizada.

2.1. Tecnologías de conectividad inalámbrica

Es necesario que el dispositivo electrónico sea capaz de enviar datos desde lugares remotos (fincas agrícolas), en los que no es viable utilizar conectividad a Internet mediante un cable, por lo que la alternativa más razonable es utilizar un sistema de conectividad inalámbrica. A continuación presentamos varias alternativas.

2.1.1. Redes celulares de telefonía móvil

Las redes de telefonía móvil celular permiten, desde su inicio, establecer conexiones de voz inalámbricas entre dispositivos móviles que se encuentran separados desde centímetros hasta miles de kilómetros. Posteriormente, con el estándar GSM se añadió soporte para servicio de mensajes de texto (SMS), y en evoluciones posteriores de GSM, se añadió soporte para envío y recepción de paquetes de datos que permitían la conexión a Internet (GPRS y EDGE)¹. Más tarde, hacia el año 2001, se introdujeron las primeras redes comerciales de lo que se conoce como 3G (UMTS, HSPA, HSPA+ y CDMA2000)² que mejoraban la velocidad y la capacidad de usuarios en la red. En nuestros días las redes LTE³ (4G) son el estándar más extendido, permiten velocidades de datos superiores a las de 3G y van dejando paso poco a poco a la siguiente evolución, el 5G, que cada vez está desplegado en más núcleos de población.

Hasta la aparición de LTE, la mayoría de dispositivos IoT que utilizaban redes móviles se conectaban mediante tecnología GSM (2G-2.5G), puesto que es la tecnología con una cobertura más extendida, y requiere dispositivos más baratos que las tecnologías posteriores. Sin embargo, sobre LTE se desarrollaron algunos protocolos específicos para dispositivos IoT que van ganando terreno poco a poco [8], como son LTE-M y NB-IoT, que per-

1 GPRS fue la primera forma de conexión a Internet a través de redes móviles, basado en GSM. Posteriormente se introdujo EDGE, que es una evolución que introduce mejoras en la velocidad de transferencia de datos. [4], [5]

2 Diferentes implementaciones de las redes de 3^a generación dependiendo de la región en el mundo. En Europa primero se implantó UMTS, y HSPA es una evolución de UMTS. [6]

3 «Estándar para comunicaciones inalámbricas de transmisión de datos de alta velocidad para teléfonos móviles y terminales de datos. Es una evolución de UMTS.» [7]

miten la conexión a la red con dispositivos más simples y económicos, al reducir la complejidad de los transceptores⁴ necesarios respecto al LTE común. Además, estos protocolos introducen mecanismos para reducir el consumo de energía de los dispositivos. Por ejemplo, permiten reducir la frecuencia del mecanismo de *paging*⁵ para mantener los dispositivos el máximo tiempo posible con el receptor y el transmisor apagados. [10]

Así pues, LTE-M y NB-IoT permiten conexiones móviles más eficientes energéticamente que GSM, y dispositivos con un precio similar o incluso menor. Además tienen mejores condiciones de propagación que LTE y que GSM. En el caso de NB-IoT, utiliza la tecnología de modulación *Ultra NarrowBand*⁶, la cual otorga una muy buena tolerancia a la interferencia y el ruido. El principal problema es que la cobertura depende de las estaciones base LTE, las cuales todavía no están tan generalizadas en el medio rural como las de GSM, lo que hace difícil su uso como única forma de conectividad en fincas agrícolas.

Cabe señalar que las tecnologías mencionadas coexisten en la actualidad. En España existen redes tanto 2G, como 3G, 4G y 5G. Sin embargo, hay planes para el apagado progresivo de las redes 3G en primer lugar, y 2G posteriormente. Por lo que no parece una buena idea realizar un despliegue nuevo con dispositivos que dependan de estas tecnologías, ya que según los operadores de telefonía, en el año 2025 las estaciones base de 2G y 3G podrían haber desaparecido. [12]

2.1.2. Sigfox

Sigfox⁷ es una tecnología propietaria, cuya red está bajo el control de una empresa con el mismo nombre de la tecnología. Está orientada para dispositivos IoT que envíen datos sin la necesidad de establecer y mantener conexiones de red. Tiene un protocolo muy ligero y orientado a dispositivos de bajo consumo energético, y permite que los costes de los módulos de comunicaciones sean más bajos que otras alternativas. Sigfox funciona en las

4 Transceptor es el nombre que recibe un dispositivo que combina un transmisor y un receptor.

5 El *paging* es el mecanismo mediante el cual la red móvil avisa a un dispositivo de que tiene algo que entregarle. Para ahorrar energía, se establece un acuerdo entre la estación base y el dispositivo móvil para que los mensajes de paging se envíen solo en determinados intervalos de tiempo, para poder mantener el receptor apagado el resto del tiempo. [9]

6 Son sistemas de comunicación en los que el canal tiene un ancho de banda muy estrecho. Sus receptores son muy selectivos y pueden rechazar el ruido y la interferencia permitiendo una relación señal-ruido aceptable con una señal recibida relativamente débil. [11]

7 <https://www.sigfox.com/en>

bandas de frecuencia ISM⁸ entre 862 Mhz y 928 Mhz, dependiendo de la región (868Mhz en Europa) y al igual que NB-IoT, utiliza la tecnología de modulación *Ultra NarrowBand*.

Una de las desventajas es que tiene límites para el envío de paquetes. El tamaño máximo de un paquete es de 12 bytes (excluyendo cabeceras), y solo permite un máximo de 140 paquetes por día. Otra desventaja es la dependencia de una única empresa que posee el monopolio de la red a la que pueden conectarse los dispositivos desarrollados, y que los costes de conexión a la red son más elevados que los de los operadores de telefonía móvil, permitiendo además el envío de mucho menos volumen de datos.

2.1.3. Otras alternativas

Otras tecnologías de conectividad inalámbrica son WiFi, Bluetooth, tecnologías propietarias en bandas de frecuencias ISM, o tecnologías de redes malladas como ZigBee. Sin embargo, todas estas alternativas tienen el problema de que necesitan un *gateway* que utilice otra tecnología para conectar realmente con la red de Internet, como por ejemplo un *gateway* de GSM a WiFi. Dado que no planeamos instalar muchos dispositivos unos cerca de otros, esto resta flexibilidad a la solución, y la encarece, sin ninguna ventaja aparente, por lo que hemos descartado estas alternativas para el proyecto.

2.1.4. Elección final

Valorando las ventajas y desventajas de cada tecnología, la limitación de Sigfox tanto en la cantidad de paquetes como en el tamaño, hace que la solución sea poco flexible de cara a añadir sensores al dispositivo en el futuro. Suponiendo que utilizásemos un protocolo en el que reservemos 1 byte para tener 8 *flags*⁹ que indiquen si se incluye la lectura de cada sensor en el paquete, o no, y utilizamos 2 bytes (16 bits) por cada dato, para 3 sensores ocuparíamos 7 bytes. Si añadimos dos bytes más, uno para el nivel de batería, y otro para el nivel de calidad de señal, ocuparíamos 9 de los 12 posibles. Lo cual deja muy limitada la expansión de nuevos sensores. Tampoco nos gusta depender de una empresa que tiene el monopolio de la red, puesto que en cualquier momento podría subir los precios, o prestar un peor servicio y la única solución sería volver a diseñar, fabricar y desplegar de nuevo todos los dispositivos de la red.

8 ISM: Bandas de radio reservadas para aplicaciones industriales, científicas y médicas, sin necesidad de pagar por su uso, siempre que se cumplan unos determinados criterios sobre el ciclo de trabajo para no bloquear continuamente las comunicaciones del resto de dispositivos del mismo tipo. Ejemplos comunes de bandas ISM en Europa son la banda de 2.4GHz utilizada por el wifi, o la banda de 868Mhz, con mejores condiciones de propagación a larga distancia.

9 «Un *flag* es uno o más bits que se utilizan para almacenar un valor binario que tiene asignado un significado.» [13]

La alternativa idónea sería NB-IoT y/o LTE-M, pero como hemos comentado la cobertura en España, aunque cada vez es mayor, todavía no es completa. Por ello hemos buscado un módulo de conectividad móvil capaz de conectarse a redes NB-IoT y LTE-M, pero con respaldo GSM para poder funcionar en aquellos lugares donde solo existe cobertura GSM, hasta que las nuevas redes lleguen a todo el territorio. Creemos que esta opción, junto con una SIM con un plan de datos específico para IoT es una solución económica, ya que el precio de los módulos de este tipo se encuentra entre 15-20€, y el precio de la conectividad por unos pocos MB es de menos de 1€ al mes. Además es una solución muy flexible, puesto que permite la adición de nuevos sensores, o el aumento de la frecuencia de transmisión de los datos, si fuese necesario.

2.2. Protocolos de aplicación: HTTP y MQTT

Necesitamos encontrar un protocolo de aplicación para el envío de pequeños paquetes de datos que contengan la lectura de los sensores. Debemos atender a criterios de eficiencia energética, para prolongar la autonomía del dispositivo, y de consumo de datos, los cuales cuestan dinero.

2.2.1. HTTP

Una alternativa para nuestro proyecto es disponer de una ruta en un servidor HTTP, que acepte peticiones POST. En esa ruta enviaríamos las peticiones desde los dispositivos remotos con los datos de los sensores en formato JSON¹⁰, y la información se procesaría en el servidor para su almacenamiento.

Basándonos en la RFC 7230 [15], HTTP es un protocolo de la capa de aplicación de tipo cliente-servidor, para sistemas de información de hipertexto. Es un protocolo sin estado, es decir, trata cada petición independientemente de las peticiones anteriores. Y es el protocolo utilizado para el intercambio de información de la World Wide Web¹¹, así que da vida a los millones de páginas web accesibles a través de Internet. HTTP utiliza métodos de petición específicos para realizar diferentes acciones, algunos de estos son GET, para solicitar un recurso, POST, para añadir contenido o datos bajo un recurso existente o DELETE, para eliminar el recurso especificado.

¹⁰ «JSON es un formato ligero de intercambio de datos. Fácil de leer y escribir para humanos, y sencillo de interpretar y generar para máquinas.» [14]

¹¹ https://developer.mozilla.org/es/docs/Glossary/World_Wide_Web

Normalmente las comunicaciones HTTP se realizan sobre conexiones TCP/IP¹², lo que permite comunicaciones fiables. El modo de funcionamiento consiste en que el cliente establece una conexión TCP con el servidor, y realiza una o varias peticiones de recursos, antes de cerrar la conexión TCP. Desde la versión HTTP 1.1, esta conexión puede ser persistente, lo que permite realizar múltiples peticiones al servidor mediante las URI de diferentes recursos antes de cerrar la conexión TCP, para ahorrar tráfico de datos y reducir la latencia. Normalmente los servidores de HTTP 1.1 tienen un valor de timeout configurable, a partir del cual no mantienen abierta una conexión persistente inactiva.

2.2.2. MQTT

Según su especificación OASIS [18], MQTT es un protocolo cliente-servidor de la capa de aplicación de tipo *publish/subscribe*. Es ligero, sencillo y diseñado para ser fácil de implementar. Estas características lo hacen ideal para el uso en entornos limitados en recursos computacionales y de red, como comunicaciones *Machine to Machine* (M2M) e *Internet of Things* (IoT), donde es necesaria una huella de código pequeña y el ancho de banda de red tiene un coste. El protocolo es agnóstico acerca del contenido del *payload*, por lo que permite enviar datos en formato texto o en binario.

El patrón de mensajería *publish/subscribe* consiste en que cuando alguien publica un mensaje no tiene que conocer al receptor, y no se lo envía a él, sino que lo envía a un broker, con el que tiene una conexión establecida previamente. Al publicar un mensaje, indica el *topic* en el que quiere registrar el mensaje y es el broker el que se encarga de hacer llegar el mensaje a todos aquellos clientes que están conectados, y suscritos al *topic* en cuestión. La forma de funcionamiento típica es sobre TCP/IP, estableciendo una conexión de larga vida para mantenerla abierta durante días, semanas o incluso meses, y así enviar el mínimo posible de datos por la red.

Por otro lado, MQTT establece tres niveles de calidad del servicio (QoS): “at most once”, con el cual se acepta la pérdida de mensajes, cada uno se envía una sola vez sin realizar reenvíos. El nivel “at least once”, que asegura la recepción del mensaje, pero podría enviar mensajes duplicados. Y el nivel “exactly once”, que asegura que cada mensaje va a llegar, y que no va a llegar duplicado. Estos niveles de QoS tienen un coste de red progre-

12 Se refiere al uso conjunto del protocolo IP en la capa de red, y el protocolo TCP en la capa de transporte.

TCP: Es un protocolo de transporte orientado a transportar paquetes de manera fiable, ordenada y sin errores. [16]

IP: Es un protocolo de red encargado de transportar paquetes desde el origen hasta el destino. No es orientado a conexión, no tiene mecanismos de control y está basado en datagramas. En cada datagrama se incluye una cabecera con la dirección de destino, y los routers de la red se encargan de encaminar el paquete hacia el propietario de esa dirección. [17]

sivamente mayor conforme el nivel es más exigente por los mensajes de señalización que implican. En nuestro caso, es aceptable el nivel más bajo de QoS, ya que se enviarán lecturas de los sensores cada pocos minutos, por lo que no es crítico que se pierda algún mensaje con la lectura de los sensores, pero sí es muy importante tratar de reducir el consumo de datos en la red.

2.2.3. Comparativa

Pasamos a enumerar los puntos en común y diferencias principales entre MQTT y HTTP:

- MQTT es un protocolo binario desde su origen, lo que permite compactar las cabeceras y el *payload*, mientras que HTTP, es originalmente un protocolo textual, aunque a partir de la versión 2 también se convirtió en un protocolo binario. En este punto están igualados.
- HTTP tiene un modelo cliente-servidor de petición-respuesta en el que el servidor no puede realizar peticiones a un cliente. Por el contrario el modelo publicación-suscripción de MQTT permite enviar y suscribirse a mensajes por cualquier dispositivo, lo que facilita la descarga de configuración por los dispositivos sin necesidad de estar sondeando periódicamente un servidor a la espera de cambios. En este sentido MQTT es más adecuado para nuestra aplicación.
- Aunque tanto MQTT como HTTP permiten conexiones persistentes, MQTT incluye un mecanismo de latidos para mantener una conexión abierta si no se envía ningún mensaje con datos, para evitar que expire el *timeout*. Tanto la petición como la respuesta de este mecanismo de latido tienen un peso de 2 bytes + las cabeceras TCP/IP, por lo que son más ligeros que un mecanismo alternativo que pudiéramos implementar sobre HTTP, y además no tenemos que desarrollarlo nosotros.

Además, los servidores HTTP, por lo general, suelen destinar un *thread* por cada conexión TCP establecida. Aunque es viable computacionalmente mantener miles de conexiones TCP abiertas, mantener miles de hilos y procesos del sistema abiertos compitiendo por la CPU y la memoria no es viable [19]. Por su parte, los servidores MQTT están pensados para mantener miles o incluso millones de conexiones concurrentes en un único servidor [20]. Por lo que, aunque teóricamente es posible utilizar HTTP con conexiones persistentes, si éstas van a estar abiertas continuamente, y tenemos cientos o miles de dispositivos, en la práctica los brokers

MQTT están mucho más preparados para este caso de uso, por lo que MQTT tiene ventaja en este punto.

- En cuanto al *overhead* de las cabeceras de ambos protocolos, MQTT es más ligero, ya que la cabecera mínima de una petición HTTP es de 26 bytes, mientras que en MQTT el *overhead* de publicar un mensaje con QoS 0 es de 15 bytes.
- En múltiples comparaciones entre HTTP y MQTT, como por ejemplo [21]–[23] podemos ver que MQTT disminuye el tiempo de respuesta y reduce el número de bytes en la red por cada mensaje enviado. Además reduce el consumo de energía, lo cual además de en el menor tamaño de las cabeceras, puede encontrar su explicación en que es un protocolo más ligero y cuya implementación es computacionalmente más sencilla, lo que permite que los dispositivos con restricciones en la capacidad de cómputo sean más eficientes enviando datos con el protocolo MQTT.
- MQTT tiene dos características únicas que son los diferentes niveles de QoS gracias a lo cual podemos publicar los mensajes más importantes con un nivel de calidad del servicio mayor, y los más redundantes (de datos enviados cada pocos segundos o minutos), con un nivel de calidad del servicio menor. La otra característica única es que al establecer una conexión con un broker MQTT, se puede establecer un mensaje de “última voluntad”, que se registrará automáticamente en el caso de la desconexión repentina de un cliente, lo cual permite monitorizar más fácilmente el estado de la conexión de los dispositivos.

En la Tabla 1 se muestra un resumen de la comparativa entre ambos protocolos. Por todo lo comentado anteriormente, vemos más ventajas al uso de MQTT frente a HTTP, por lo que el protocolo de aplicación elegido para nuestro sistema es MQTT.

Característica	HTTP	MQTT
Peticiones cliente-servidor	Unidireccional, solo del cliente al servidor	Bidireccional
Manejo de conexiones persistentes en el servidor	Posibles, pero no para miles de dispositivos	Pensado para ello. Cientos de miles de conexiones.
Overhead de datos	Intermedio	Más ligero
Tiempo de respuesta	Mayor	Menor
Consumo de energía	Mayor	Menor
Nivel de QoS	No tiene	3 niveles para elegir en función de la importancia de cada mensaje
Mecanismo de mensaje de última voluntad	No tiene	Configurable al establecer la conexión

Tabla 1: Resumen de la comparación entre HTTP y MQTT

3. Diseño e implementación

En este capítulo detallamos la arquitectura general del sistema, el software utilizado y describimos el proceso de diseño y desarrollo de cada una de sus partes por separado: dispositivo electrónico, sistema de información e interfaz de usuario.

3.1. Arquitectura general

Disponemos de un servidor conectado a Internet, en el que tenemos diversos servicios funcionando mediante contenedores Docker¹:

- Una base de datos PostgreSQL para el almacenamiento de la información.
- Un broker MQTT, que es al que se conectan los dispositivos electrónicos a través de Internet para enviar la lectura de los sensores.
- Una aplicación Node.js², que incluye un cliente MQTT que se conecta al broker MQTT para recibir los datos de los sensores y almacenarlos en la base de datos. Esta aplicación Node.js también tiene una API REST a la que se conecta la aplicación web para solicitar la información que necesita en cada momento.
- Un proxy inverso³ con el software Nginx, que es al que los usuarios del sistema realizan las peticiones web. Éste se encarga por un lado de servir los ficheros estáticos (HTML, JavaScript y CSS) que dan forma a la aplicación web React, y por otro lado redirige las peticiones a la dirección “/api/*” hacia la API REST de la aplicación Node.js.

Fuera del servidor, tenemos nuestro dispositivo electrónico con sensores, que se conecta a Internet mediante la red de telefonía móvil. Este dispositivo establece una conexión de larga duración con el broker MQTT, y le envía periódicamente un mensaje con las lecturas de los sensores, el porcentaje de batería y la calidad de la señal. En la Figura 1 se muestra un diagrama que ayuda a comprender la arquitectura del sistema de un vistazo.

1 Software de virtualización de aplicaciones mediante contenedores.

2 Entorno de ejecución de JavaScript en el lado del servidor.

3 «Es un tipo de servidor proxy que recupera recursos en nombre de un cliente desde uno o más servidores. Estos recursos se devuelven al cliente como si se originaran en el propio servidor web. A menudo se utilizan protegiendo los framework de aplicación de las debilidades de seguridad de HTTP.» [24]

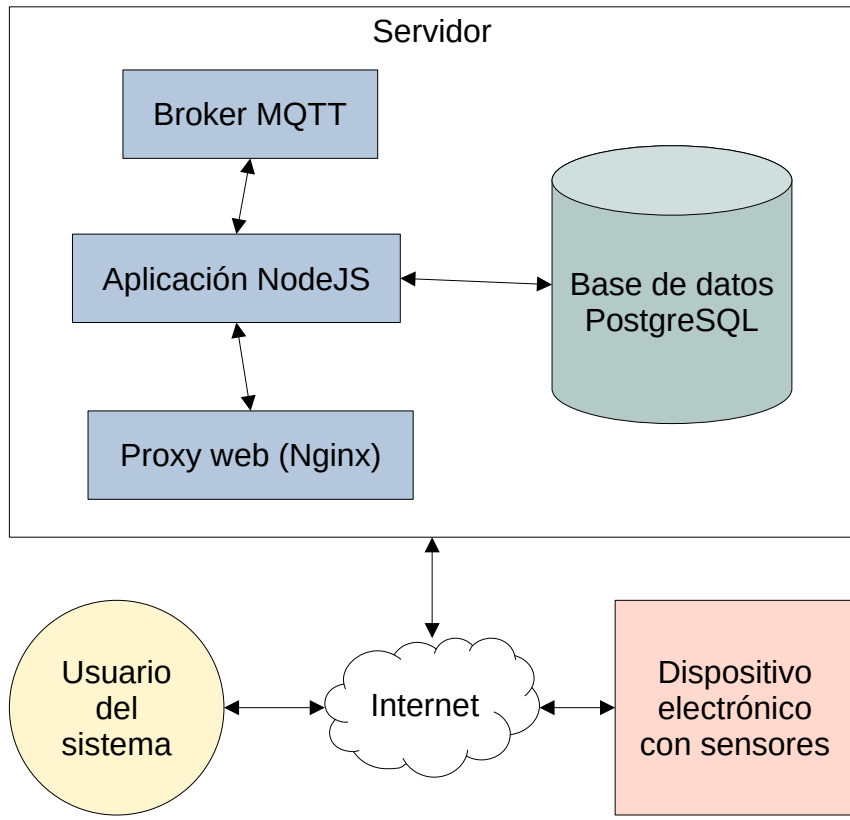


Figura 1: Diagrama de arquitectura

3.2. Software utilizado

Aquí presentamos una lista del principal software utilizado a lo largo del capítulo de diseño e implementación:

- **KiCad:** Software de código abierto para diseño de esquemáticos y PCB electrónicas.
- **Mbed Studio:** IDE⁴ de desarrollo de software embebido para microcontroladores con núcleos ARM⁵ con el sistema operativo ARM Mbed.
- **Visual studio code:** IDE de desarrollo web.
- **Docker:** Software de virtualización de aplicaciones mediante contenedores. Permite compartir y ejecutar entornos de desarrollo fácilmente, de forma mucho más ligera y eficiente que las máquinas virtuales tradicionales, al funcionar directamente so-

⁴ «Un IDE es una aplicación informática que proporciona servicios para facilitar el desarrollo de software.» [25]

⁵ Es una arquitectura de procesadores desarrollada por la empresa ARM Holdings. ARM es el conjunto de instrucciones de 32 y 64 bits más utilizado en unidades producidas. [26]

bre el *kernel* del sistema operativo host, en lugar de emular hardware y ejecutar un sistema operativo completo como en una máquina virtual [27].

- **Postman:** Permite realizar peticiones HTTP para testear API REST de forma sencilla y configurable. Útil para testear peticiones POST, PATCH, o DELETE, las cuales son difíciles de probar con un navegador web convencional, pero también GET o de cualquier otro tipo, ya que permite guardar las peticiones y ejecutarlas por lotes.
- **DBeaver:** Cliente de bases de datos SQL de código abierto, para la monitorización de la base de datos, y poder realizar consultas de prueba, o modificar registros manualmente.

3.3. Dispositivo electrónico

En esta sección detallamos la elección de una plataforma de desarrollo y las pruebas con la misma (3.3.1), la arquitectura de hardware diseñado (3.3.2) en base al cual construiremos una PCB, el diseño del esquemático del circuito necesario para obtener la funcionalidad que buscamos (3.3.3), cómo se ha llevado a cabo el diseño de las placas de circuito impresas (3.3.4), y la fabricación y montaje de componentes de las mismas (3.3.5). Por último, una explicación del diseño, implementación, y funcionamiento del software embebido en el dispositivo (3.3.6).

3.3.1. Plataforma de desarrollo

Tras haber trabajado con la plataforma Arduino con microcontroladores de 8 bits⁶, conocer sus limitaciones, y buscando principalmente una plataforma que permitiera una mejor gestión de multitarea en *threads*, se barajó la posibilidad de usar el entorno Arduino con microcontroladores de 32 bits y núcleos ARM Cortex (como el Arduino Zero), o usar la serie de microcontroladores STM32 de STMicroelectronics con el sistema operativo ARM Mbed. Finalmente se optó por ARM Mbed frente a Arduino por ser un producto más completo, con librerías oficiales para la gestión de *threads*, entre otras cosas, y más orientado a desarrollar productos para llevarlos a producción, mientras que Arduino está más orientado a aficionados de la electrónica.

⁶ Los bits de un procesador determinan el tamaño de los registros y los números más grandes que pueden procesar en una sola operación. Esto implica que un MCU (microcontrolador) de 32 bits puede procesar datos grandes de manera más rápida que con 8 (con 8 bits solo podemos representar números enteros entre 0 y 255, y no pueden manejar números en coma flotante de forma nativa). Además los MCU de 32 bits suelen operar con frecuencias de reloj más rápidas, por lo que también son más rápidos que los de 8 bits. Sin embargo, los MCU de 8 bits siguen siendo útiles y baratos para tareas simples. [28]

Para realizar una primera aproximación del dispositivo se trabajó con la placa de desarrollo STMicroelectronics Nucleo L476RG que se muestra en la Figura 2. Se configuró el IDE Mbed Studio para cargar software a esta placa, y se probaron sus funciones realizando un montaje con el shield de Arduino para comunicaciones GSM y NB-IoT que se muestra en la Figura 3.

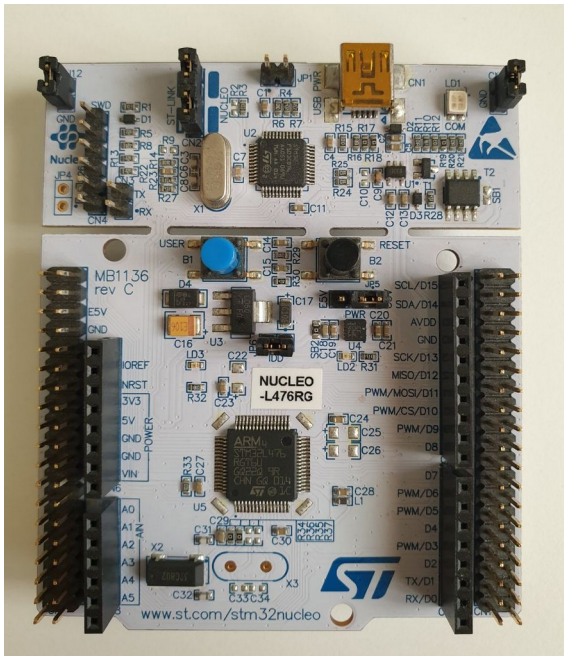


Figura 2: Placa de desarrollo Nucleo L476RG



Figura 3: Shield DFRobot SIM7000

Se desarrolló un driver para las comunicaciones entre el microcontrolador y el módulo SIM7000E haciendo uso de la librería Serial de ARM Mbed, con los comandos básicos para configurar el dispositivo, comprobar que se conecta a la red móvil, activar la conexión de datos GPRS, conectarse a un servidor MQTT de test, y enviar paquetes de datos al servidor MQTT teniendo una conexión abierta.

Posteriormente se modificó este driver basándonos en las librerías HAL⁷ de STMicroelectronics del periférico LPUART⁸ del microcontrolador en lugar de la librería Serial de ARM Mbed, puesto que ésta última no soporta los modos de baja energía de LPUART, ni mantener el dispositivo “dormido” y despertarlo a la llegada de nuevos datos por el puerto LPUART para su procesamiento.

7 Las librerías HAL (Hardware Abstraction Layer) de STMicroelectronics son librerías de alto nivel diseñadas por el fabricante para ofrecer una interacción más sencilla con los periféricos del microcontrolador, sin perder las principales opciones de configuración que tendríamos con las librerías de bajo nivel. [29]

8 *Low Power Universal Asynchronous Receiver/Transmitter*: es una interfaz de comunicación en serie, similar al UART pero capaz de funcionar a 9600 bps con un reloj externo de baja velocidad (32.768 kHz), lo cual permite reducir el consumo de energía del periférico. [30]

Una vez que teníamos funcionando un programa que hacía uso del módem SIM7000E para conectarse al broker MQTT de test de Eclipse Mosquitto⁹ y enviar un mensaje periódicamente, se procedió a diseñar un circuito para fabricar una PCB que se ajustase de la mejor manera a los requisitos de nuestro dispositivo.

3.3.2. Arquitectura de hardware

En la Figura 4 vemos el diagrama de los bloques funcionales más importantes de la placa de circuito que hemos diseñado. Las líneas rojas denotan conexiones de alimentación, y las azules, conexiones de datos. Tenemos un receptáculo para una batería recargable extraíble de Li-Ion, de tipo 18650¹⁰, conectado a un circuito de protección para evitar daños en el circuito y en la propia batería, si ésta se introduce con la polaridad invertida, y un circuito que gestiona la carga de la batería mediante una placa solar.

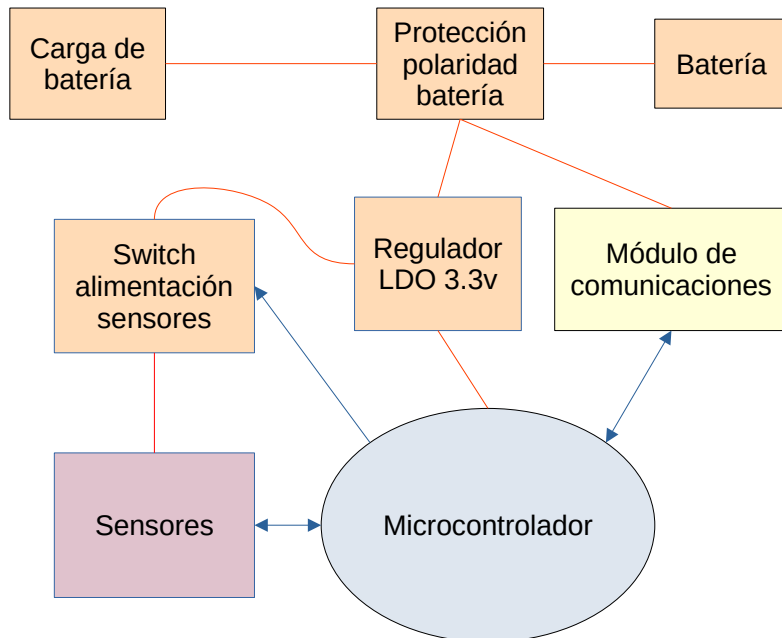


Figura 4: Diagrama de bloques

De la salida del circuito de protección de polaridad obtenemos un voltaje nominal de 3.6v, que llega hasta 4.2v cuando la batería está completamente cargada, que alimenta directamente al módulo de comunicaciones (que acepta alimentación entre 3.0V y 4.3V), y al re-

⁹ <https://test.mosquitto.org/>

¹⁰ El factor de forma 18650 de baterías recargables, generalmente de Li-Ion, es un estándar, como pueden ser AA o AAA. Recibe su nombre de las dimensiones de este tipo de baterías, cuya forma es un cilindro de 18mm de diámetro y 65mm de longitud. [31]

gulador de tensión LDO¹¹ con salida a 3.3v, puesto que éste es el voltaje al que se alimentan la mayoría de los componentes del circuito.

Del regulador de tensión se alimenta el microcontrolador, y tenemos una salida para la alimentación de los sensores que pasa por un *switch* digital, el cual permite cortar el paso de corriente para ahorrar energía cuando no se van a obtener lecturas de los sensores.

El microcontrolador tiene diversas conexiones de datos (lectura y escritura de pines digitales, I2C¹², UART) con el módulo de comunicaciones, con los sensores y con el control de alimentación de los sensores.

3.3.3. Diseño del esquemático

El diseño del circuito y la PCB se ha realizado con el software KiCad, el cual es Open Source, e incluye herramientas para realizar el esquemático, la PCB y mantenerlos sincronizados. En la Figura 5 se ve el detalle del editor de esquemático de KiCad. Se pueden encontrar más detalles de diseño del esquemático en el anexo “Detalles de diseño del dispositivo electrónico”.

11 Un regulador de tensión LDO (*Low Drop-Out*), o regulador de baja caída es un regulador lineal de corriente continua que puede regular el voltaje de salida cuando el voltaje de alimentación está muy cerca del de salida. La ventaja respecto a otras tipologías de reguladores es que no introducen ruido de conmutación, son más pequeños y su diseño es más simple. Por contra, disipan potencia proporcionalmente a la diferencia de voltaje entre la entrada y la salida. Por eso solo son apropiados para circuitos con ambos voltajes cercanos o de baja potencia. [32]

12 «I2C (*Inter-Integrated Circuit*) es un bus serie de datos desarrollado por Philips Semiconductors. Se utiliza principalmente para la comunicación interna entre diferentes partes de un circuito, por ejemplo, entre un controlador y circuitos periféricos integrados.» [33]

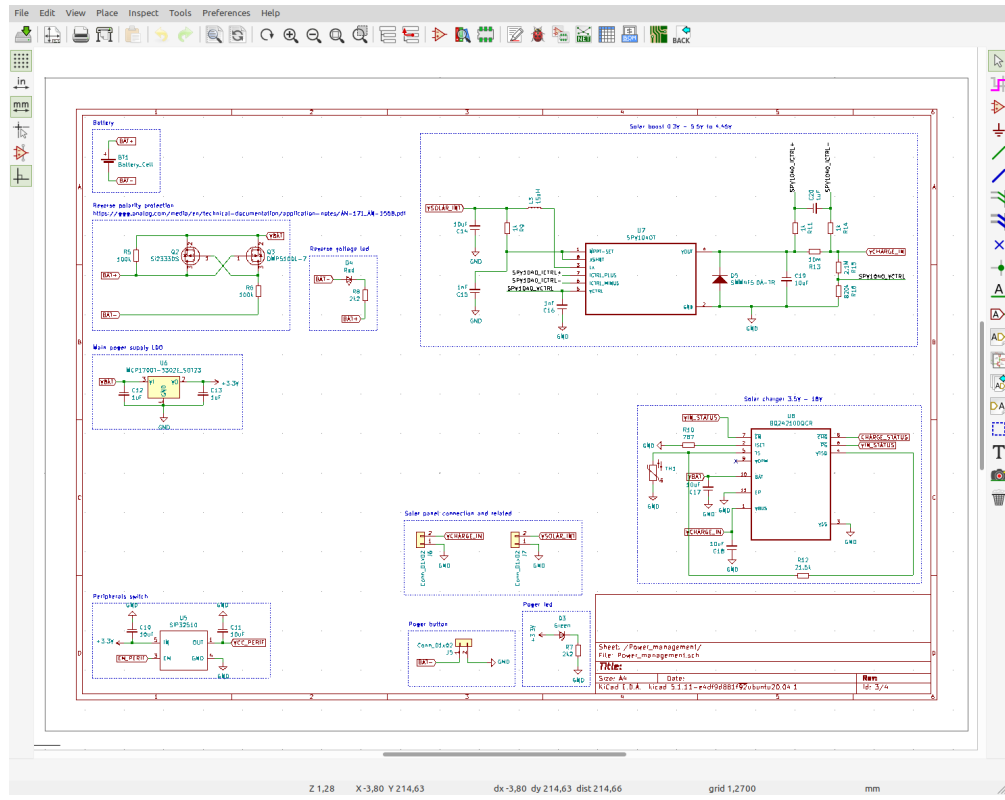


Figura 5: Detalle de la interfaz del CAD de esquemático de KiCad

3.3.4. Diseño de la PCB

Una vez terminado el diseño del esquemático se procedió a darle forma a una PCB basada en el diseño previo. Se realiza con componentes de montaje de superficie (SMD¹³) puesto que se dispone de un horno de soldadura y pistola de calor, con el objetivo de conseguir un dispositivo suficientemente pequeño para instalarlo en una carcasa eléctrica de 125mm*125mm.

Se consigue una placa de circuito de 100mm*80mm incluyendo en este el receptáculo de la batería. En la Figura 6 se muestra un render 3D de la PCB diseñada, obtenido con Ki-Cad.

¹³ Los componentes electrónicos de montaje superficial (SMD) no atraviesan la placa de circuito impreso, las conexiones se realizan mediante contactos planos. Es la tecnología de montaje más utilizada actualmente. [34]

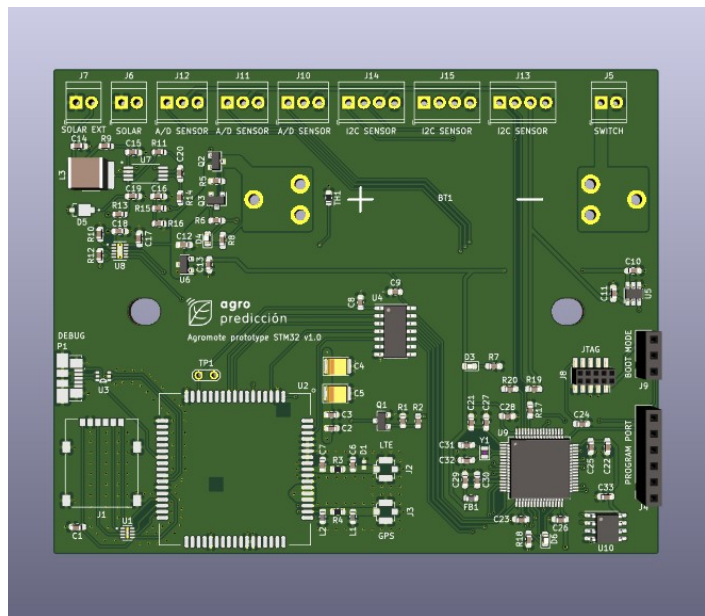


Figura 6: Render 3D de la PCB diseñada

3.3.5. Fabricación y montaje de la PCB

Con la PCB ya diseñada, se encargó su fabricación a la empresa china JLCPCB¹⁴. Junto con las PCB se encargó una plantilla (*stencil*¹⁵) para la pasta de soldadura. El resultado de la placa fabricada se muestra en las Figuras 7 y 8.

Se encargaron los componentes para el montaje de una PCB a las tiendas Mouser, Farnell, TME y LCSC. Se aplicó la pasta de soldadura con el *stencil*, y se colocaron los componentes SMD con unas pinzas. Tras soldarlos con el horno de soldadura T-962, se procedió a soldar los componentes de agujero pasante (THT¹⁶) con un soldador de la marca Baku.

14 <https://jlpcb.com/>

15 Una plantilla de soldadura o “*paste stencil*” es una plantilla agujereada de forma precisa con las formas de los *pads* de una PCB en los que se van a situar componentes de montaje en superficie (SMD). Sirve para poder aplicar la pasta de soldadura en los lugares exactos y en la cantidad necesaria en los *pads* de la PCB. Se sujetta el *stencil* a la PCB para que los agujeros coincidan y no se mueva, y se aplica la pasta de soldadura con una espátula o una tarjeta de plástico. Después se retira la plantilla, y se sitúan los componentes en su lugar. Una vez hecho esto, se hornea la PCB con los componentes y la pasta de soldadura se funde y se solidifica dando lugar a las soldaduras en todos los *pads* de los componentes. [35]

16 La tecnología de agujeros pasantes es una tecnología de montaje de componentes en placas de circuito impreso, que utiliza los agujeros practicados en las placas de circuito para el montaje de los elementos electrónicos, creando puentes eléctricos entre ambas caras de la placa de montaje mediante un tubo conductor. [36]

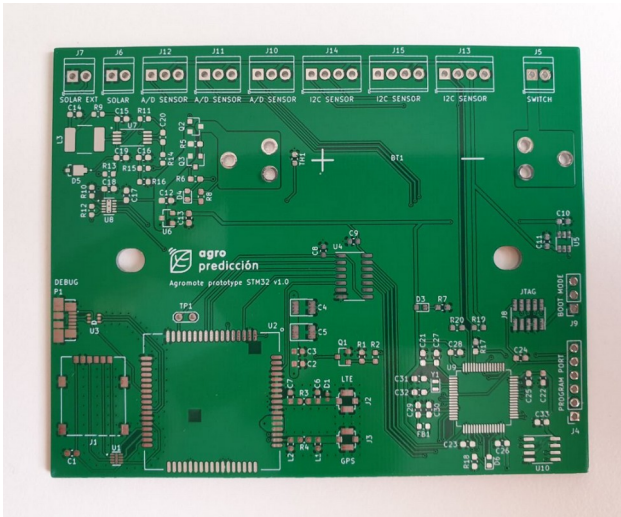


Figura 7: Vista anterior de la PCB fabricada

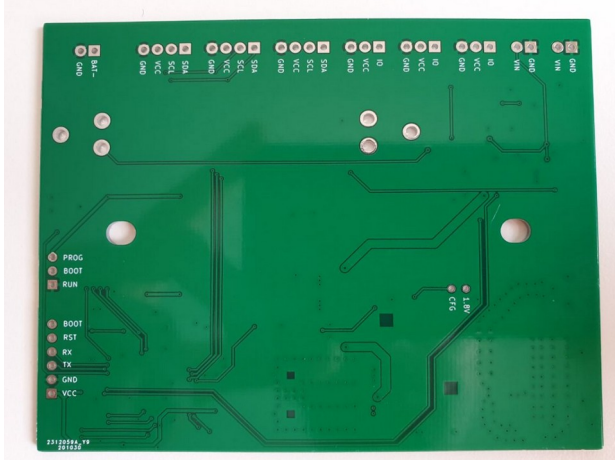


Figura 8: Vista posterior de la PCB fabricada

Posteriormente durante las pruebas se detectó un error en la huella del conector de debug del microcontrolador, que es el que permite cargar el programa. Se encontraba con los pines en espejo respecto a cómo deberían estar, por lo tanto hubo que soldar unos pequeños cables para poder trabajar con la placa. En la Figura 9 se muestra el resultado de la placa de circuito impreso con los componentes montados y con su batería, nano sim, debugger, conversor serial-usb, y los sensores conectados.

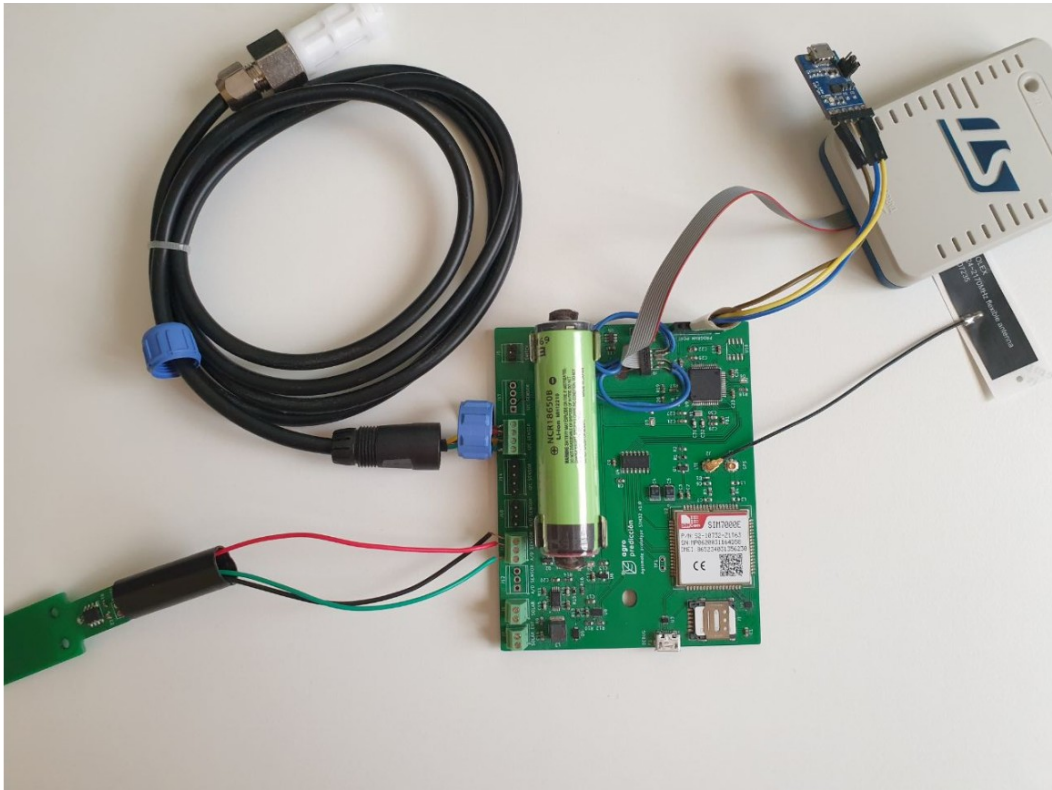


Figura 9: PCB con los componentes montados.

3.3.6. Software embebido

Tomando como base los archivos de definición de un microcontrolador de la misma familia que el utilizado (STM32L431RCT) se ha definido el mapa de pines y periféricos necesario para poder compilar el software para nuestro dispositivo con el sistema operativo ARM Mbed.

Manejo del módem SIM7000. Se ha desarrollado un driver para el periférico LPUART, con el cual configuramos este periférico para ser capaz de funcionar en modo “stop” del microcontrolador (uno de los modos de más bajo consumo), y despertar el dispositivo a la recepción de datos por el pin RX de este periférico. Este driver incluye una función para transmitir datos por el pin TX del periférico LPUART1, y recibe los datos por el pin RX en modo interrupción, pasando cada carácter a una función que pasamos como parámetro en la inicialización del driver.

Basada en el driver para el puerto LPUART, tenemos una clase ATHandler que abstrae los detalles de implementación para manejar comandos AT (el tipo de comandos que acepta el módem SIM7000). La clase ATHandler se encarga de inicializar el driver LPUART. También incluye un método para enviar un comando AT de forma configurable según el tipo, un método para esperar hasta recibir una respuesta AT determinada y un método para enviar un comando AT y devolver la respuesta recibida. Si se recibe un mensaje no esperado en cualquier momento (por ejemplo un aviso de SMS, o un mensaje MQTT del lado del servidor), se almacena en un buffer y se marca un flag para que el thread encargado de esta tarea procese el mensaje adecuadamente, que por el momento solamente se encarga de enviar el mensaje recibido por el puerto UART de depuración (debug).

Haciendo uso de la clase ATHandler tenemos una clase SIM7000 que implementa métodos para el envío de comandos al dispositivo, así como la gestión del encendido, apagado, dormir y despertar el dispositivo mediante los pines correspondientes. Incluye métodos para activar la conexión GPRS del módem, para leer el IMEI, obtener el método de conexión actual (sin servicio, GSM, LTE-M1, NB-IoT...), la calidad de la señal (RSSI¹⁷) o el porcentaje de carga de la batería conectada al módem, entre otras funciones. Esta clase SIM7000 es la interfaz para manejar el módem en nuestro programa principal.

¹⁷ RSSI: «El indicador de fuerza de la señal recibida es una escala de referencia para medir el nivel de potencia de las señales recibidas por un dispositivo en las redes inalámbricas.» [37]

Manejo del sensor SHT31. Basado en la librería *Open Source* para Arduino de la empresa Adafruit para este mismo sensor, y en el datasheet [38] del mismo, se ha desarrollado una clase que permite leer la temperatura y humedad del sensor, mediante el protocolo I2C.

Manejo del sensor de humectación de hoja. (Ver el anexo “Diseño de un sensor de humectación de hoja”) La salida de este sensor, por diseño, es una señal cuadrada de frecuencia variable, en función de la cantidad de agua que se encuentra en la superficie del sensor, que es lo que pretendemos medir. Para medir la frecuencia de una señal cuadrada, tenemos el sensor conectado a un pin digital del microcontrolador. Y configuramos una interrupción¹⁸ de subida en ese pin. Por lo que cada vez que el voltaje pasa de 0 a 3.3v se ejecuta la función de interrupción. Configuramos un timer de 500ms y la función de interrupción incrementa un contador. A la finalización del timer de 500ms, con el resultado del contador podemos obtener la frecuencia de la señal del sensor.

Para calibrar el sensor realizamos la medida con el sensor completamente seco, obteniendo 4680 Hz, y la medida con todas las pistas interdigitales del sensor sumergidas en un vaso de agua, obteniendo 2300 Hz. Por lo que obtenemos el porcentaje de humectación del sensor como 0% si la frecuencia es mayor de 4680 Hz, 100% si la frecuencia es menor de 2300 Hz. Si la lectura se encuentra entre estos dos valores, el porcentaje de humectación es el resultado de: $(4680 - \text{frecuencia}) * 100 / (4680 - 2300)$

Funcionamiento de la aplicación. La aplicación se organiza en *threads* independientes. Por un lado tenemos un *thread* que se encarga de encender un led durante 10ms (suficiente para ser visible) a intervalos de 3000ms para permitir detectar visualmente que el dispositivo está en funcionamiento. Se realiza de esta forma, con un parpadeo tan rápido, para tener un impacto mínimo en el consumo de energía. El ciclo de trabajo de este led es del 0,33%, lo cual para un led de 5mA de corriente consumida daría una media de 16,5 uA.

Por otro lado tenemos el thread principal, que enciende el switch digital para permitir el paso de la corriente que alimenta los sensores, espera 500ms para que los sensores se

¹⁸ «En informática, una interrupción es una señal recibida por el procesador, que le indica que debe interrumpir el curso de ejecución actual y pasar a ejecutar código específico para tratar esa situación.» [39]

estabilicen, y realiza una lectura de humedad, temperatura y humectación de hoja. Después apaga el switch digital de la alimentación de los sensores para ahorrar energía. Con estas medidas guardadas, despierta el módem, y obtiene de éste la lectura del porcentaje de la batería y el RSSI para conocer la calidad de la señal. Una vez hecho esto envía un mensaje MQTT al servidor configurado con todos los elementos leídos (temperatura, humedad, humectación de hoja, batería y calidad de señal) en formato JSON. La primera vez establece la conexión con el servidor MQTT. En las lecturas sucesivas reutiliza la misma conexión anterior para ahorrar batería y datos. Una vez terminado este proceso, se duerme el módem para ahorrar energía, y pone el thread en espera de la siguiente señal del timer, que está configurada cada 10 minutos. Por lo que la mayor parte del tiempo el dispositivo está en un modo de baja energía, ya que el sistema operativo duerme el dispositivo automáticamente si no lo usa ningún thread.

Además de los dos *threads* mencionados, tenemos un tercero para *debug* que se encarga de mostrar las estadísticas de tiempo en modo de energía *awake* (funcionando), *sleep*, y *deep sleep* (modos de sueño de bajo y muy bajo consumo respectivamente). Así como información sobre el tamaño del *heap*¹⁹ de memoria, para controlar que no se desborde.

Carga de código al dispositivo. La carga del código al dispositivo se realiza desde el IDE Mbed Studio, mediante el dispositivo debugger STLink V3 del mismo fabricante que el microcontrolador (STMicroelectronics), a través del puerto de debug reservado en la placa a tal efecto. Por otro lado, en la placa de circuito tenemos un conector para UART, al cual tenemos conectado un conversor de USB a UART para monitorizar desde el ordenador, por ese puerto, los mensajes de salida del programa mediante el método “printf()”. En la Figura 10 se observa el detalle de la interfaz del IDE utilizado para el desarrollo y la carga de código al dispositivo electrónico.

¹⁹ El *heap* es la región de memoria dinámica donde se almacenan los datos que se crean durante la ejecución de un programa. Si ésta crece indefinidamente significa que la memoria no se está liberando correctamente. [40]

```

39 Thread read_sensors_thread;
40
41 // Thread timeouts
42 LowPowerTicker stats_thread_ticker;
43 LowPowerTicker read_sensors_thread_ticker;
44
45 void poweron_blink_thread_cb() {
46     while (true) {
47         ThisThread::sleep_for(POWERON_BLINKING_OFF_TIME);
48         led = 1;
49         ThisThread::sleep_for(POWERON_BLINKING_ON_TIME);
50         led = 0;
51     }
52 }
53
54 void read_sensors_ticker_cb() {
55     read_sensors_thread.flags_set(THREAD_FLAG_RUN);
56 }
57
58 void read_sensors_thread_cb() {
59     float temperature, humidity, leafWetness;
60     int battery, signalQuality;
61
62     read_sensors_thread_ticker.attach(&read_sensors_ticker_cb, 10min);
63     while (true) {
64         bool flagTemperature = false;
65         bool flagHumidity = false;
66         bool flagLeafWetness = false;
67         bool flagBattery = false;
68         bool flagSignalQuality = false;
69
70         // Read sensors
71         enablePeripherals.write(1);
72         ThisThread::sleep_for(500ms);
73         if (sht31.begin()) {
74             if (sht31.readTempHum()) {
75                 temperature = sht31.getLastTemperature();
76                 flagTemperature = true;
77                 humidity = sht31.getLastHumidity();
78                 flagHumidity = true;
79             }
80         } else {
81             printf("SHT31 sensor not detected.\n");
82         }

```

Figura 10: Interfaz del IDE Mbed Studio

3.4. Sistema de información

En esta sección explicamos las tecnologías, frameworks y librerías utilizadas más relevantes para el desarrollo del sistema de información (3.4.1), la configuración del entorno de desarrollo (3.4.2) y algunos detalles de la implementación del servidor Node.js (3.4.3).

3.4.1. Tecnologías utilizadas

Node.js. Es un entorno de código abierto basado en el motor de ejecución JavaScript V8 de Google, que permite la ejecución de programas escritos con este lenguaje fuera del navegador [41]. Puede utilizarse para aplicaciones de línea de comandos, para ejecutar código web en el lado del servidor, sustituyendo la función típica de PHP²⁰, o incluso para

²⁰ «Lenguaje de programación de uso general, principalmente utilizado para desarrollo web. Su código se ejecuta en el lado del servidor.» [42]

aplicaciones de escritorio mediante el *framework* Electron²¹. En este caso lo utilizamos como lenguaje para un servidor web en el que desarrollamos una API REST.

NestJS. Es un framework de código abierto basado en Node.js, aunque permite código JavaScript, está pensado para su uso con TypeScript²². Utilizamos NestJS con su configuración por defecto, con Express.js como framework de servidor HTTP y escribiremos el código con TypeScript. La ventaja que introduce NestJS, frente a usar Express.js por nuestra cuenta, es que establece una arquitectura de la aplicación para facilitar el desarrollo de aplicaciones más mantenibles y con código más limpio [44].

PostgreSQL. Es una base de datos relacional de código abierto, que utiliza como lenguaje de consultas SQL. Permite la extensión mediante *plugins*.

TimescaleDB. Plugin para PostgreSQL. Permite mejorar el rendimiento de inserción en tablas con un gran volumen de datos, ya que las va dividiendo automáticamente en subtablas de tamaño configurable para evitar que crezcan indefinidamente, lo que ralentizaría la velocidad de inserción de nuevos datos. Todo este proceso se realiza de forma transparente para el usuario, las consultas se realizan sobre una única tabla, y en caso de necesitar filas de diferentes subtablas, la consulta se realiza como si la tabla fuese una tabla normal, pero Timescale se encarga de devolver todas las filas que corresponda. Se utiliza este plugin para la tabla de almacenamiento de los datos del sensor, con expectativa de recibir unas 50.000 lecturas por dispositivo al año, si tuviéramos 1000 dispositivos serían 50 millones de filas por año, por lo que a largo plazo se apreciaría una mejora de rendimiento importante. Se muestran las mejoras en el rendimiento por el uso de TimescaleDB en este documento de la bibliografía: [45].

Prisma. ORM²³ de código abierto para realizar consultas a la base de datos desde la aplicación Node.js. Es el ORM con mejor documentación, y con una forma de definir los modelos más limpia para Node.js. Además ofrece un gran soporte de tipos, y permite realizar consultas SQL crudas, pero protegidas contra inyección SQL.

EMQ X. Broker MQTT de código abierto de alto rendimiento.

ReactJS. Librería de JavaScript de código abierto, creada por Facebook, para construir interfaces de usuario avanzadas.

21 «Framework para crear aplicaciones de escritorio usando JavaScript HTML y CSS. Basado en Node.js» [43]

22 Superconjunto de JavaScript que añade tipado y otras mejoras.

23 Es una técnica de mapeo que consiste en mapear los datos de una base de datos relacional al sistema de tipos utilizado en el lenguaje de programación orientado a objetos. Llamamos ORM también al software que genera la abstractación de la base de datos siguiendo esta técnica. [46]

3.4.2. Entorno de desarrollo

Para el desarrollo de la aplicación necesitamos tener una instancia de la base de datos PostgreSQL²⁴, y una instancia del broker EMQ X. Para ello configuramos dos contenedores Docker mediante Docker Compose²⁵. Esto es más cómodo que instalar el servidor de base de datos y el broker en nuestra máquina, y hace más fácil compartir el entorno de desarrollo con otros desarrolladores, si fuese necesario. Además permite que podamos llevar a cabo proyectos con diferentes versiones de base de datos por ejemplo, sin ningún problema, ya que podemos tener una instancia virtualizada de la base de datos para cada proyecto en el que estamos trabajando en ese momento.

3.4.3. Servidor Node.js

Se han seguido las directrices de arquitectura del *framework* NestJS. Se divide el código en módulos por cada funcionalidad, y dentro de cada módulo tenemos todo lo relativo a esa funcionalidad. Los módulos desarrollados más importantes son los siguientes:

- **Módulo de autenticación²⁶ y autorización²⁷ (“auth”):** Para la autenticación utilizamos la librería Passport.js²⁸. Dentro de este módulo definimos las estrategias de validación de el intento de *login* mediante email y contraseña, y la validación de los JWT²⁹ que los usuarios logueados enviarán en cada petición. Un servicio³⁰ con métodos para validar las credenciales de un usuario, para generar un *token* JWT para un usuario (este es el que el usuario enviará en cada petición para mostrar que está autenticado) y para registrar un nuevo usuario. Y un controlador con: una ruta

24 En el anexo “Estructura de datos. Modelo entidad-relación” se presenta la estructura de datos utilizada.

25 Compose es una herramienta complementaria a Docker, que sirve para definir y ejecutar aplicaciones Docker multi-contenedor. Permite configurar varios contenedores en un archivo y arrancarlos y pararlos al mismo tiempo de forma sencilla. [47]

26 Autenticación es el acto de confirmar que alguien es quien dice ser. [48]

27 Autorización es el proceso por el cual un sistema decide si un usuario tiene permiso para acceder a un recurso. [49]

28 Librería de autenticación para ExpressJS. Permite diferentes tipos de autenticación, como usuario-contraseña, o validación de *JSON Web Tokens* (JWT), mediante un concepto que denominan “strategies”. Cada “strategy” es un método de autenticación definido mediante una clase.

29 Los *JSON Web Tokens* son un método estandarizado y abierto para representar porciones de información de forma segura entre dos partes, basados en JSON. Normalmente un servidor, tras validar las credenciales de un usuario, genera un JWT, por ejemplo con el id del usuario, y los permisos del mismo como contenido. Lo firma con una clave secreta, y se lo envía al usuario. El usuario, envía este *token* en cada petición al servidor, y este lee el contenido y comprueba que la firma es correcta para comprobar qué usuario realiza la petición, y que realmente es quién dice ser. Si un usuario modificase el contenido para suplantar a otro, no podría generar una firma válida, ya que no conoce el secreto, por lo que el servidor detectaría que la integridad del mensaje se ha violado y rechazaría la petición. [50]

30 Los servicios son clases que se encargan de obtener los datos de la base de datos, y juntarlos de forma lógica para realizar una tarea específica, mientras que los controladores se encargan de orquestar las llamadas a los servicios, configuran las rutas de acceso HTTP a los recursos, y controlan la entrada del usuario y la respuesta que finalmente se le entrega a éste. Es una separación de ámbitos que permite escribir un código más limpio, al separar la parte relativa al servidor HTTP (controlador) y la parte relativa a la lógica de la aplicación (servicio).

para hacer *login* (validar el email y contraseña del usuario y en caso de ser correctos le envía una *cookie* HttpOnly³¹ con el JWT), una ruta para registrar un usuario, en la que al enviar un objeto con el email, contraseña deseada, nombre y apellidos, se registra un usuario en el sistema, y otra para hacer *logout* que envía una *cookie* HttpOnly con contenido vacío y expiración instantánea para sobrescribir la *cookie* de autenticación en el navegador del cliente, y expirar en ese mismo instante.

- **Módulo de relaciones usuario-cliente (“memberships”):** la entidad *membership* relaciona un usuario con un cliente y le asigna un permiso sobre el cliente. Un cliente podría ser una empresa, o un autónomo, que tiene asociadas fincas, y “agromotes”³², entre otras cosas. Cada *membership* define la relación que existe entre un cliente y un usuario, que puede ser “ownership”, cuando un cliente ha sido creado por un usuario, “access” o “management”, cuando el *owner* ha otorgado permisos de acceso o gestión respectivamente, a un usuario, que podría ser un empleado que trabaja para él. Éste es el módulo desde el que se puede ver a qué clientes tiene acceso un usuario.
- **Módulo de clientes (“clients”):** que nos permite crear un cliente, asignándole la “membresía” “owner” al usuario que lo crea (mediante la lectura del id de usuario de su *token* de autenticación al realizar la petición), y obtener la información de un cliente.
- **Módulo de fincas (“farms”):** que tiene rutas para la creación de una finca, asignándole parcelas mediante su número de parcela de SIGPAC³³ para su visualización en un mapa, así como ponerle un nombre para su identificación, o asociarlo a un “agromote”.
- **Módulo de geometrías de SIGPAC (“sigpac-geometries”):** que consume una API de SIGPAC a la que se puede consultar un número de parcela para saber los números de “recinto” que tiene, y posteriormente con otra consulta a la API se puede descargar el polígono que define geográficamente a cada “recinto”. De este modo podemos almacenar en nuestra base de datos lo que hemos llamado “farm-plots”, que contienen un número de parcela en formato *String*, y un “Multipolygon”

31 Una *cookie* HttpOnly es una *cookie* marcada como tal por el servidor. Estas *cookies* son inaccesibles desde el código JavaScript en el navegador, evitando así ataques *cross-site-scripting* (XSS).

32 “Agromote” es el nombre que le hemos dado dentro del dominio de la aplicación, al dispositivo electrónico con sensores.

33 Sistema de información geográfica de parcelas agrícolas de España, que permite identificar geográficamente las parcelas declaradas por los agricultores y ganaderos.

geográfico en formato GeoJSON³⁴ que define la forma de los recintos de una parcela, tal y como se pueden ver en SIGPAC. Posteriormente se pueden asignar tantos “farm-plots” como sea necesario a una finca, para poder visualizar todas las parcelas que conforman esa finca en un mapa.

- **Módulo “mqtt”**, que contiene un servicio que se conecta al broker MQTT como cliente y se suscribe al *topic* en el que los sensores envían los datos. Cada vez que llega un dato a un *topic*, este servicio llama a los servicios “agromote-status”, y “clima-sensor-data”, para el almacenamiento en base de datos del estado de conexión del dispositivo y de los datos recibidos por los sensores respectivamente.

Hay otros módulos, como uno para registrar “agromotes” en el sistema u obtener la información de uno. Otro para la gestión de los puntos geográficos de instalación de los agromotes (“installation-points”³⁵), entre otros. Pero todos siguen una estructura similar con un “servicio” que es el que hace uso del ORM Prisma para realizar consultas a la base de datos, y un “controlador” que define la ruta de acceso en la API REST, los parámetros aceptados, y orquesta las llamadas necesarias a los servicios para dar una respuesta al usuario. En la Figura 11 se puede ver el detalle del IDE utilizado para el desarrollo del servidor Node.js y de la interfaz de usuario.

34 «GeoJSON es un formato estándar abierto diseñado para representar elementos geográficos sencillos, junto con sus atributos no espaciales, basado en JSON. Es un formato ampliamente utilizado en aplicaciones de cartografía en entornos web al permitir el intercambio de datos de manera rápida ligera y sencilla.» [51]

35 Los puntos geográficos de instalación son una entidad que define un punto geográfico mediante sus coordenadas, y un nombre familiar para el cliente para referirse a él. A este punto se asociará uno o varios “agromotes” y sirve para tener relacionadas las lecturas de los sensores con la posición geográfica en la que se han tomado.

```

    mqtt-client.service.ts - agroprediccion-backend - Visual Studio Code
    Archivo Editar Selección Ver Ir Ejecutar Terminal Ayuda
    EXPLORADOR ... n.ts U mqtt-client.service.ts u auth.controller.ts u mqtt-client.service.spec.ts u docker-compose.yml u ...
    AGROPREDICION-BACKEND
    > emqx
    > node_modules
    > postgres
    > prisma
    > src
    > app
    > agromote-status
    > agromotes
    > auth
    > clients
    > clima-sensor-data
    > crop-varieties
    > crop-variety-names
    > crops
    > farm-crop-varieties
    > farm-crops
    > farm-locations
    > farm-plots
    > farms
    > installation-points
    > memberships
    > mqtt
    > mqtt-client
    > mqtt-access-type.ts
    > mqtt.module.ts
    > mqtt.service.specs
    > mqtt.service.ts
    > mqtt-tacks
    > mqtt-users
    > sippac-geometries
    > sim-cards
    > user-local-accounts
    > user-local-verifications
    > user-password-recoveries
    > users
    > prisma
    > shared
    > app.controller.spec.ts
    > app.controller.ts
    > ESQUEMA
    > LÍNEA DE TIEMPO
    > SCRIPTS NPM
    src > app > mqtt > mqtt-client > mqtt-client.service.ts > MqttClientService > clima1MessageProcessor
    75   )
    76     const agromote = await this.agromotesService.getById(agromoteId);
    77     const installationPointId = agromote?.installationPointId;
    78     if (!topicCommand) {
    79       // Data message
    80       const parsedMessage = JSON.parse(message.toLocaleString());
    81       console.log(parsedMessage);
    82
    83       if (agromote !== undefined && installationPointId !== undefined) {
    84         await this.prisma.$transaction([
    85           this.climaSensorDataService.create([
    86             timestamp: new Date(),
    87             installationPointId: installationPointId,
    88             agromoteId: agromoteId,
    89             battery: parsedMessage.battery,
    90             rssi: parsedMessage.rssi,
    91             temperature: parsedMessage.temperature,
    92             humidity: parsedMessage.humidity,
    93             leafWetness: parsedMessage.leafWetness,
    94             visibleLight: parsedMessage.visibleLight,
    95             uvLight: parsedMessage.uvLight,
    96           ]),
    97           this.agromoteStatusService.create([
    98             agromoteId: agromote.id,
    99             timestamp: new Date(),
    100            connectionStatus: 'online',
    101          ]),
    102        ]);
    103      }
    104    } else if (topicCommand === 'status') {
    105      if (agromote !== undefined) {
    106        const status = message.toLocaleString();
    107        if (status === 'offline') {
    108          await this.agromoteStatusService.create([
    109            agromoteId: agromote.id,
    110            timestamp: new Date(),
    111            connectionStatus: status,
    112          ]);
    113        }
    114      }
    115    }
    116  }
    117
    118  async createAdminIfNotExists() {
    119    const currentAdminUser = await this.prisma.mqttUser.findUnique({
    120      where: {
    121        username: adminUsername,
    122      },
    123    });
    124    if (!currentAdminUser) {
    125
    126
    127
    128
    129
    130
    131
    132
    133
    134
    135
    136
    137
    138
    139
    140
    141
    142
    143
    144
    145
    146
    147
    148
    149
    150
    151
    152
    153
    154
    155
    156
    157
    158
    159
    160
    161
    162
    163
    164
    165
    166
    167
    168
    169
    170
    171
    172
    173
    174
    175
    176
    177
    178
    179
    180
    181
    182
    183
    184
    185
    186
    187
    188
    189
    190
    191
    192
    193
    194
    195
    196
    197
    198
    199
    200
    201
    202
    203
    204
    205
    206
    207
    208
    209
    210
    211
    212
    213
    214
    215
    216
    217
    218
    219
    220
    221
    222
    223
    224
    225
    226
    227
    228
    229
    230
    231
    232
    233
    234
    235
    236
    237
    238
    239
    240
    241
    242
    243
    244
    245
    246
    247
    248
    249
    250
    251
    252
    253
    254
    255
    256
    257
    258
    259
    260
    261
    262
    263
    264
    265
    266
    267
    268
    269
    270
    271
    272
    273
    274
    275
    276
    277
    278
    279
    280
    281
    282
    283
    284
    285
    286
    287
    288
    289
    290
    291
    292
    293
    294
    295
    296
    297
    298
    299
    300
    301
    302
    303
    304
    305
    306
    307
    308
    309
    310
    311
    312
    313
    314
    315
    316
    317
    318
    319
    320
    321
    322
    323
    324
    325
    326
    327
    328
    329
    330
    331
    332
    333
    334
    335
    336
    337
    338
    339
    340
    341
    342
    343
    344
    345
    346
    347
    348
    349
    350
    351
    352
    353
    354
    355
    356
    357
    358
    359
    360
    361
    362
    363
    364
    365
    366
    367
    368
    369
    370
    371
    372
    373
    374
    375
    376
    377
    378
    379
    380
    381
    382
    383
    384
    385
    386
    387
    388
    389
    390
    391
    392
    393
    394
    395
    396
    397
    398
    399
    400
    401
    402
    403
    404
    405
    406
    407
    408
    409
    410
    411
    412
    413
    414
    415
    416
    417
    418
    419
    420
    421
    422
    423
    424
    425
    426
    427
    428
    429
    430
    431
    432
    433
    434
    435
    436
    437
    438
    439
    440
    441
    442
    443
    444
    445
    446
    447
    448
    449
    450
    451
    452
    453
    454
    455
    456
    457
    458
    459
    460
    461
    462
    463
    464
    465
    466
    467
    468
    469
    470
    471
    472
    473
    474
    475
    476
    477
    478
    479
    480
    481
    482
    483
    484
    485
    486
    487
    488
    489
    490
    491
    492
    493
    494
    495
    496
    497
    498
    499
    500
    501
    502
    503
    504
    505
    506
    507
    508
    509
    510
    511
    512
    513
    514
    515
    516
    517
    518
    519
    520
    521
    522
    523
    524
    525
    526
    527
    528
    529
    530
    531
    532
    533
    534
    535
    536
    537
    538
    539
    540
    541
    542
    543
    544
    545
    546
    547
    548
    549
    550
    551
    552
    553
    554
    555
    556
    557
    558
    559
    560
    561
    562
    563
    564
    565
    566
    567
    568
    569
    570
    571
    572
    573
    574
    575
    576
    577
    578
    579
    580
    581
    582
    583
    584
    585
    586
    587
    588
    589
    590
    591
    592
    593
    594
    595
    596
    597
    598
    599
    600
    601
    602
    603
    604
    605
    606
    607
    608
    609
    610
    611
    612
    613
    614
    615
    616
    617
    618
    619
    620
    621
    622
    623
    624
    625
    626
    627
    628
    629
    630
    631
    632
    633
    634
    635
    636
    637
    638
    639
    640
    641
    642
    643
    644
    645
    646
    647
    648
    649
    650
    651
    652
    653
    654
    655
    656
    657
    658
    659
    660
    661
    662
    663
    664
    665
    666
    667
    668
    669
    670
    671
    672
    673
    674
    675
    676
    677
    678
    679
    680
    681
    682
    683
    684
    685
    686
    687
    688
    689
    690
    691
    692
    693
    694
    695
    696
    697
    698
    699
    700
    701
    702
    703
    704
    705
    706
    707
    708
    709
    710
    711
    712
    713
    714
    715
    716
    717
    718
    719
    720
    721
    722
    723
    724
    725
    726
    727
    728
    729
    730
    731
    732
    733
    734
    735
    736
    737
    738
    739
    740
    741
    742
    743
    744
    745
    746
    747
    748
    749
    750
    751
    752
    753
    754
    755
    756
    757
    758
    759
    760
    761
    762
    763
    764
    765
    766
    767
    768
    769
    770
    771
    772
    773
    774
    775
    776
    777
    778
    779
    780
    781
    782
    783
    784
    785
    786
    787
    788
    789
    790
    791
    792
    793
    794
    795
    796
    797
    798
    799
    800
    801
    802
    803
    804
    805
    806
    807
    808
    809
    8010
    8011
    8012
    8013
    8014
    8015
    8016
    8017
    8018
    8019
    8020
    8021
    8022
    8023
    8024
    8025
    8026
    8027
    8028
    8029
    8030
    8031
    8032
    8033
    8034
    8035
    8036
    8037
    8038
    8039
    8040
    8041
    8042
    8043
    8044
    8045
    8046
    8047
    8048
    8049
    8050
    8051
    8052
    8053
    8054
    8055
    8056
    8057
    8058
    8059
    8060
    8061
    8062
    8063
    8064
    8065
    8066
    8067
    8068
    8069
    8070
    8071
    8072
    8073
    8074
    8075
    8076
    8077
    8078
    8079
    8080
    8081
    8082
    8083
    8084
    8085
    8086
    8087
    8088
    8089
    8090
    8091
    8092
    8093
    8094
    8095
    8096
    8097
    8098
    8099
    80100
    80101
    80102
    80103
    80104
    80105
    80106
    80107
    80108
    80109
    80110
    80111
    80112
    80113
    80114
    80115
    80116
    80117
    80118
    80119
    80120
    80121
    80122
    80123
    80124
    80125
    80126
    80127
    80128
    80129
    80130
    80131
    80132
    80133
    80134
    80135
    80136
    80137
    80138
    80139
    80140
    80141
    80142
    80143
    80144
    80145
    80146
    80147
    80148
    80149
    80150
    80151
    80152
    80153
    80154
    80155
    80156
    80157
    80158
    80159
    80160
    80161
    80162
    80163
    80164
    80165
    80166
    80167
    80168
    80169
    80170
    80171
    80172
    80173
    80174
    80175
    80176
    80177
    80178
    80179
    80180
    80181
    80182
    80183
    80184
    80185
    80186
    80187
    80188
    80189
    80190
    80191
    80192
    80193
    80194
    80195
    80196
    80197
    80198
    80199
    80200
    80201
    80202
    80203
    80204
    80205
    80206
    80207
    80208
    80209
    80210
    80211
    80212
    80213
    80214
    80215
    80216
    80217
    80218
    80219
    80220
    80221
    80222
    80223
    80224
    80225
    80226
    80227
    80228
    80229
    80230
    80231
    80232
    80233
    80234
    80235
    80236
    80237
    80238
    80239
    80240
    80241
    80242
    80243
    80244
    80245
    80246
    80247
    80248
    80249
    80250
    80251
    80252
    80253
    80254
    80255
    80256
    80257
    80258
    80259
    80260
    80261
    80262
    80263
    80264
    80265
    80266
    80267
    80268
    80269
    80270
    80271
    80272
    80273
    80274
    80275
    80276
    80277
    80278
    80279
    80280
    80281
    80282
    80283
    80284
    80285
    80286
    80287
    80288
    80289
    80290
    80291
    80292
    80293
    80294
    80295
    80296
    80297
    80298
    80299
    80300
    80301
    80302
    80303
    80304
    80305
    80306
    80307
    80308
    80309
    80310
    80311
    80312
    80313
    80314
    80315
    80316
    80317
    80318
    80319
    80320
    80321
    80322
    80323
    80324
    80325
    80326
    80327
    80328
    80329
    80330
    80331
    80332
    80333
    80334
    80335
    80336
    80337
    80338
    80339
    80340
    80341
    80342
    80343
    80344
    80345
    80346
    80347
    80348
    80349
    80350
    80351
    80352
    80353
    80354
    80355
    80356
    80357
    80358
    80359
    80360
    80361
    80362
    80363
    80364
    80365
    80366
    80367
    80368
    80369
    80370
    80371
    80372
    80373
    80374
    80375
    80376
    80377
    80378
    80379
    80380
    80381
    80382
    80383
    80384
    80385
    80386
    80387
    80388
    80389
    80390
    80391
    80392
    80393
    80394
    80395
    80396
    80397
    80398
    80399
    80400
    80401
    80402
    80403
    80404
    80405
    80406
    80407
    80408
    80409
    80410
    80411
    80412
    80413
    80414
    80415
    80416
    80417
    80418
    80419
    80420
    80421
    80422
    80423
    80424
    80425
    80426
    80427
    80428
    80429
    80430
    80431
    80432
    80433
    80434
    80435
    80436
    80437
    80438
    80439
    80440
    80441
    80442
    80443
    80444
    80445
    80446
    80447
    80448
    80449
    80450
    80451
    80452
    80453
    80454
    80455
    80456
    80457
    80458
    80459
    80460
    80461
    80462
    80463
    80464
    80465
    80466
    80467
    80468
    80469
    80470
    80471
    80472
    80473
    80474
    80475
    80476
    80477
    80478
    80479
    80480
    80481
    80482
    80483
    80484
    80485
    80486
    80487
    80488
    80489
    80490
    80491
    80492
    80493
    80494
    80495
    80496
    80497
    80498
    80499
    80500
    80501
    80502
    80503
    80504
    80505
    80506
    80507
    80508
    80509
    80510
    80511
    80512
    80513
    80514
    80515
    80516
    80517
    80518
    80519
    80520
    80521
    80522
    80523
    80524
    80525
    80526
    80527
    80528
    80529
    80530
    80531
    80532
    80533
    80534
    80535
    80536
    80537
    80538
    80539
    80540
    80541
    80542
    80543
    80544
    80545
    80546
    80547
    80548
    80549
    80550
    80551
    80552
    80553
    80554
    80555
    80556
    80557
    80558
    80559
    80560
    80561
    80562
    80563
    80564
    80565
    80566
    80567
    80568
    80569
    80570
    80571
    80572
    80573
    80574
    80575
    80576
    80577
    80578
    80579
    80580
    80581
    80582
    80583
    80584
    80585
    80586
    80587
    80588
    80589
    80590
    80591
    80592
    80593
    80594
    80595
    80596
    80597
    80598
    80599
    80600
    80601
    80602
    80603
    80604
    80605
    80606
    80607
    80608
    80609
    80610
    80611
    80612
    80613
    80614
    80615
    80616
    80617
    80618
    80619
    80620
    80621
    80622
    80623
    80624
    80625
    80626
    80627
    80628
    80629
    80630
    80631
    80632
    80633
    80634
    80635
    80636
    80637
    80638
    80639
    80640
    80641
    80642
    80643
    80644
    80645
    80646
    80647
    80648
    80649
    80650
    80651
    80652
    80653
    80654
    80655
    80656
    80657
    80658
    80659
    80660
    80661
    80662
    80663
    80664
    80665
    80666
    80667
    80668
    80669
    80670
    80671
    80672
    80673
    80674
    80675
    80676
    80677
    80678
    80679
    80680
    80681
    80682
    80683
    80684
    80685
    80686
    80687
    80688
    80689
    80690
    80691
    80692
    80693
    80694
    80695
    80696
    80697
    80698
    80699
    80700
    80701
    80702
    80703
    80704
    80705
    80706
    80707
    80708
    80709
    80710
    80711
    80712
    80713
    80714
    80715
    80716
    80717
    80718
    80719
    80720
    80721
    80722
    80723
    80724
    80725
    80726
    80727
    80728
    80729
    80730
    80731
    80732
    80733
    80734
    80735
    80736
    80737
    80738
    80739
    80740
    80741
    80742
    80743
    80744
    80745
    80746
    80747
    80748
    80749
    80750
    80751
    80752
    80753
    80754
    80755
    80756
    80757
    80758
    80759
    80760
    80761
    80762
    80763
    80764

```

que son utilizados por varias, se encuentran en una carpeta de nivel superior. Por otro lado tenemos el *layout* (componente de maquetación) que comparten todas las pantallas de la aplicación excepto el *login*, esto es el menú superior, y el menú lateral, que es responsive³⁸ para poder visualizarse en dispositivos móviles.

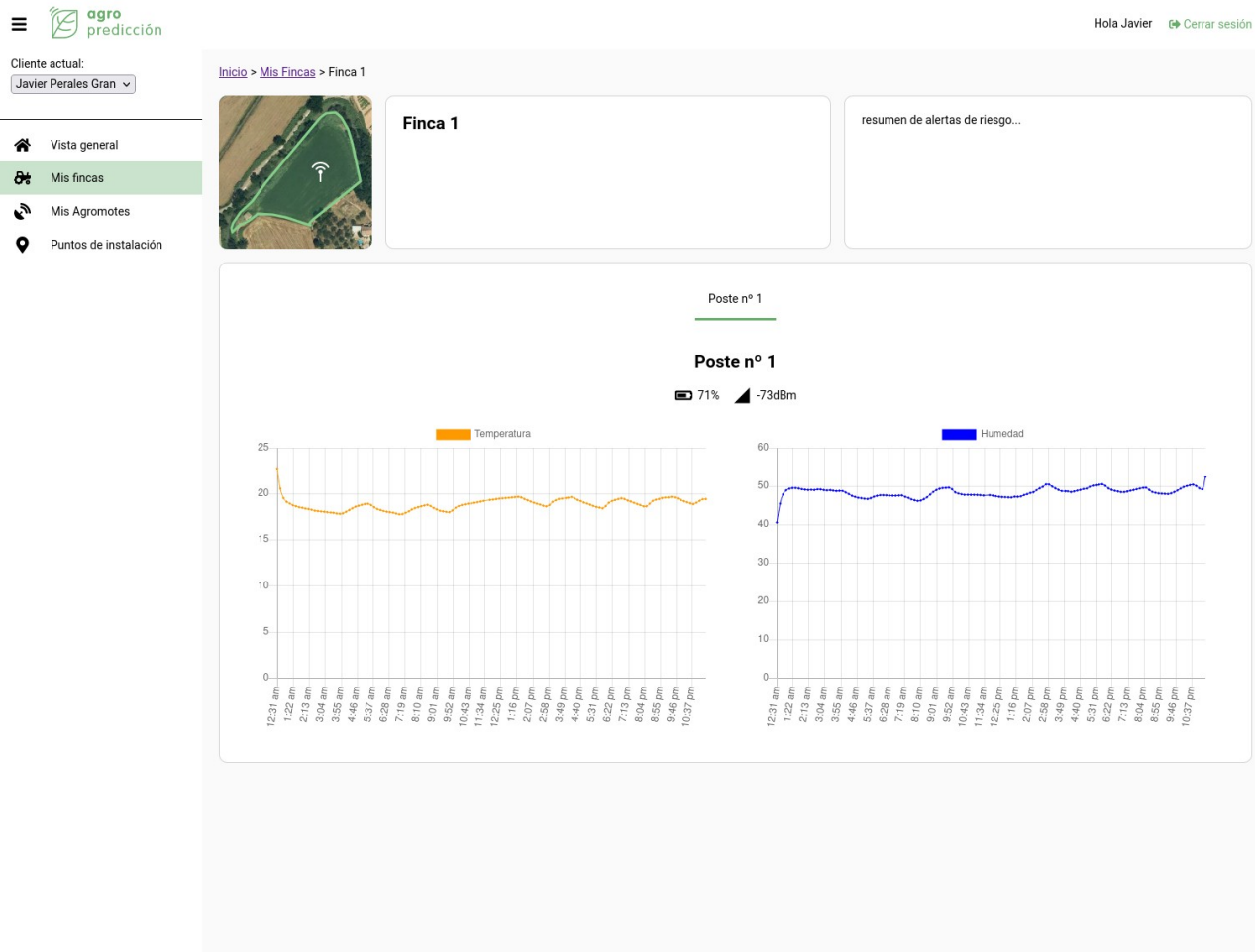


Figura 12: Detalle de la vista de una finca en la interfaz gráfica

Una vez vista brevemente la arquitectura, pasamos a describir el funcionamiento de la aplicación. Al entrar a la página principal, o a cualquier otra ruta, la aplicación comprueba en localStorage³⁹ si hay una sesión iniciada. En caso de haberla se va a la ruta indicada, en caso contrario se redirige directamente a la pantalla de *login* para iniciar sesión. En la pantalla de *login* se nos pide el email y la contraseña, de una cuenta que habremos crea-

³⁸ El diseño responsive es una filosofía de diseño y desarrollo web que busca adaptar la apariencia de las páginas web al dispositivo desde el que se visitan, ya sea tablet, móvil o un ordenador.

³⁹ Local storage es una API de los navegadores web, que permite a las páginas web almacenar datos sobre una web, que permanecen almacenados entre diferentes sesiones de navegación. Estos datos solo pueden ser accedidos por código JavaScript ejecutado en la misma ruta. Por ejemplo, es útil para almacenar datos de sesiones persistentes. [53]

do mediante Postman (el registro de usuarios no está implementado en la interfaz de usuario). Al introducir los datos, se realiza una petición a la API REST y en caso de que sean correctos la aplicación almacena los datos del usuario en localStorage, así como la fecha de expiración del JWT recibido, para saber cuándo debe marcar en localStorage que no hay sesión iniciada porque ha caducado, y redirigir el navegador a la ruta raíz (“/”).

En la pantalla principal no se nos muestra nada normalmente, pero en caso de que no tengamos ningún cliente asociado, se nos muestra un mensaje que nos dice que no tenemos ningún cliente asociado, y un enlace a un formulario para crear uno. Como se puede ver en el menú lateral de la Figura 12, una vez que tenemos un cliente creado, aparece un selector con los clientes asociados y se nos selecciona automáticamente. Si tenemos más de un cliente podemos cambiar el selector y se actualizaría la pantalla en la que estemos en ese momento con los elementos relativos al cliente seleccionado. Además, la opción del selector de cliente se almacena en localStorage también, para que si salimos del navegador y volvemos a entrar sigamos con el cliente que dejamos marcado la última vez.

En el apartado puntos de instalación podemos crear uno mediante un formulario, introduciendo un nombre, y la latitud y longitud GPS donde se encuentra. En la visión general de los puntos de instalación vemos una cuadrícula con el nombre, las coordenadas y un pequeño mapa con un dibujo de un poste en el lugar de las coordenadas. En la visión de los “agromotes” vemos los que tenemos asociados, y una vista parecida a la de los puntos de instalación, solo que si no hay ningún punto de instalación asociado a un “agromote”, se muestra “sin asignar”.



Figura 13: Vista de una finca en la pantalla del listado de fincas de un cliente

En el apartado de fincas vemos un listado de las fincas que tenemos con su nombre y un pequeño mapa con la forma de las parcelas que tiene asociadas. También se muestra un botón para acceder a un formulario para añadir una nueva finca a ese cliente, en el cual

hay que introducir el nombre para la finca, y los números de parcela que le queremos asociar. En la Figura 13 se muestra el detalle de un elemento de la lista de la página de fincas.

Si hacemos clic en una finca del listado accedemos a la página de vista de una finca como la de la Figura 12, donde se muestra un mapa con el perímetro de las parcelas asociadas a esa finca, y los puntos geográficos de las localizaciones de “agromotes” que haya asociadas a esa finca también en el mapa. Debajo hay una vista con pestañas, con una pestaña por cada punto de instalación asociado, y en el contenido de la pestaña se muestra el nombre, los últimos valores recibidos de nivel de batería y RSSI, así como unos gráficos realizados con la librería Chart.js⁴⁰ del histórico de temperatura y humedad recibidos del “agromote” asociado.

Ese es el funcionamiento de la aplicación. Faltan algunas funcionalidades como poder asociar los “agromotes” a un punto de instalación, o un punto de instalación a una finca. Tareas que hay que realizar mediante peticiones con Postman (en el servidor Node.js sí está desarrollado), pero creemos que es una interfaz que cumple con los requisitos que habíamos marcado en la introducción.

3.6. Despliegue en la nube

Para desplegar el sistema se ha utilizado el servidor más barato del proveedor DigitalOcean⁴¹. Primero nos conectamos al servidor por SSH⁴² y configuramos un usuario diferente del root siguiendo esta guía: [55]. Configuramos un firewall (ufw⁴³) siguiendo esta guía: [57] permitiendo conexiones SSH, HTTP y MQTT (puertos 22, 80 y 1883) y lo activamos. Instalamos Docker siguiendo esta guía: [58]. Además configuramos el DNS⁴⁴ del dominio que vamos a utilizar (agroprediccion.es) para que resuelva el nombre en la IP de nuestro servidor.

Para el despliegue creamos un archivo docker-compose específico para producción en el que creamos un contenedor para ejecutar el servidor Node.js y otro con el proxy inverso

40 Librería JavaScript de código abierto para representación gráfica de datos. <https://www.chartjs.org/>

41 <https://www.digitalocean.com/>

42 «SSH es un protocolo cuya principal función es el acceso remoto a un servidor por medio de un canal seguro en el que toda la información está cifrada» [54]

43 «Es un cortafuegos diseñado para ser de fácil uso desarrollado por Ubuntu. Utiliza la línea de comandos para configurar las reglas de paso usando un pequeño número de comandos simples.» [56]

44 «El DNS es un sistema de nomenclatura jerárquico descentralizado para dispositivos conectados a redes IP. Su función más importante es traducir nombres inteligibles para las personas en identificadores binarios asociados con equipos conectados a la red.» [59]

Nginx, que se encargará de servir los archivos de la aplicación ReactJS, y de redirigir las peticiones realizadas a la ruta “/api” a la API REST del servidor Node.js. Además de los contenedores de PostgreSQL y el broker EMQ X. Por otro lado, ponemos a punto los archivos de configuración que se cargarán en cada contenedor para configurar todos los servicios debidamente. Generamos el HTML, CSS y JavaScript comprimido, listo para su uso en producción de la aplicación ReactJS, y en el proyecto del servidor Node.js transpilamos⁴⁵ el código TypeScript a JavaScript, que será lo que ejecutemos en producción.

Una vez que tenemos todo lo anterior, nos conectamos mediante el software Filezilla⁴⁶ al servidor de DigitalOcean por SFTP⁴⁷ para cargar los archivos de configuración de los contenedores Docker, el archivo docker-compose, y las carpetas con los archivos de producción de la aplicación ReactJS y del servidor Node.js, y arrancamos todos los contenedores comprobando que todo funciona correctamente. Ya solo nos queda modificar el código del dispositivo electrónico para conectarse con nuestro broker MQTT en lugar del de test, cargamos el nuevo código al dispositivo con el usuario y la contraseña que hemos configurado en el servidor y la nueva URL del servidor, y tras configurar en la aplicación un nuevo usuario, un cliente, añadir una finca y asociar el “agromote”, comprobamos que en la interfaz web se muestran las nuevas lecturas de los sensores con el paso de los minutos, por lo que tenemos la arquitectura descrita en el capítulo 3.1, funcionando en la nube con éxito.

45 Transpilar es un caso especial de compilación por el cual se genera código en un lenguaje a partir de código en otro lenguaje, teniendo ambos lenguajes el mismo nivel de abstracción.

46 Es un cliente FTP y SFTP. Sirve para el intercambio de archivos con un servidor FTP o SSH.

47 «SFTP es un protocolo que permite realizar operaciones sobre archivos remotos. Similar a FTP, basado en SSH.» [60]

4. Conclusiones

Durante el desarrollo del proyecto, se han llevado a cabo tareas de documentación sobre protocolos, tecnologías, diseño electrónico, y programación, entre otros campos. En este capítulo se presentan los aprendizajes obtenidos, el impacto del proyecto, y posibles mejoras o desarrollos futuros que se apoyan en el presente trabajo.

4.1. Aprendizajes y errores

Los principales aprendizajes han sido sobre diseño de electrónica, he aprendido a comparar y elegir componentes electrónicos, he profundizado en el diseño de circuitos, en temas como el uso de los condensadores de desacoplo, en protocolos de comunicación como UART, o I2C. He profundizado en el diseño de placas de circuito, pasando del esquemático a dibujar las pistas, teniendo en cuenta el grosor de las mismas según la corriente que debe atravesarlas, o para que la impedancia de la pista al conector de la antena esté adaptada, y teniendo en cuenta evitar los ángulos rectos para que las pistas no actúen como antenas indeseadas, captando o emitiendo ruido electromagnético. He cometido innumerables fallos en los diseños electrónicos: desde olvidar enrutar¹ una pista, hasta colocar un conector con las conexiones invertidas, pasando por elegir un chip integrado equivocadamente, no consiguiendo el funcionamiento deseado, lo cual me ha traído numerosos aprendizajes que no podría enumerar en estas líneas. Por otro lado, también he aprendido sobre el protocolo MQTT, el broker EMQ X, y he podido poner el práctica el uso de algunas tecnologías de desarrollo web que ya conocía por mi trabajo en el sector.

4.2. Trabajos futuros

El primero de los trabajos a realizar sería resolver un par de errores del diseño del dispositivo electrónico: el conector invertido, y el circuito de carga de la batería, en el cual se eligió un integrado inadecuado. Por otro lado, habría que terminar el desarrollo de la interfaz de usuario, que por cuestiones de tiempo, y porque escapa el alcance del proyecto ha quedado con una funcionalidad un poco incompleta, pero debería mejorarse mucho para poder llevar el producto al mercado.

¹ Trazar el camino de una conexión eléctrica al diseñar una placa de circuito impreso.

Otro posible desarrollo sería una aplicación móvil en la que poder recibir las alertas de riesgo mediante notificaciones *push*². Esto sería esencial también para llevar el producto al mercado, ya que es la forma más inmediata de poder avisar a los agricultores de que su cultivo está en riesgo.

4.3. Reflexión final

Creo que el proyecto ha servido como prueba de concepto para demostrar que es posible conseguir un sistema de bajo coste para monitorizar los cultivos agrícolas. En el aspecto personal estoy muy contento con los aprendizajes obtenidos, han sido muy enriquecedores para mi formación y confío en que útiles para mi futuro profesional. Por último, comentar que el proyecto sigue en desarrollo, que se construye sobre el trabajo aquí presentado, y espero que pronto tengamos un producto maduro que sirva para ayudar a los agricultores a cuidar la salud de sus cultivos.

² «La tecnología *push* es una forma de comunicación a través de internet en la que la petición de envío tiene origen en el servidor, al contrario de la tecnología *pull*, que tiene origen en el cliente.» [61]

Bibliografía

- [1] «Interfaz de programación de aplicaciones». Accedido: nov. 23, 2021. [En línea]. Disponible en: https://es.wikipedia.org/wiki/Interfaz_de_programaci%C3%B3n_de_aplicaciones
- [2] «Fielding Dissertation: CHAPTER 5: Representational State Transfer (REST)». https://www.ics.uci.edu/~fielding/pubs/dissertation/rest_arch_style.htm (accedido oct. 27, 2021).
- [3] David Flanagan, *JavaScript – The Definitive Guide*, 5th ed. O'Reilly, 2006.
- [4] «Servicio general de paquetes vía radio». Accedido: nov. 23, 2021. [En línea]. Disponible en: https://es.wikipedia.org/wiki/Servicio_general_de_paquetes_v%C3%A9o
- [5] «Enhanced Data Rates for GSM Evolution». Accedido: nov. 23, 2021. [En línea]. Disponible en: https://es.wikipedia.org/wiki/Enhanced_Data_Rates_for_GSM_Evolution
- [6] «Telefonía móvil 3G». Accedido: nov. 23, 2021. [En línea]. Disponible en: https://es.wikipedia.org/wiki/Telefon%C3%Ad_m%C3%BCvil_3G
- [7] «LTE (telecomunicaciones)». Accedido: nov. 23, 2021. [En línea]. Disponible en: [https://es.wikipedia.org/wiki/LTE_\(telecomunicaciones\)](https://es.wikipedia.org/wiki/LTE_(telecomunicaciones))
- [8] «The IoT device market continues to expand, especially in China». <https://on5g.es/en/the-iot-device-market-continues-to-expand-especially-in-china/> (accedido nov. 08, 2021).
- [9] «Paging LTE». Accedido: nov. 21, 2021. [En línea]. Disponible en: https://www.sharetechnote.com/html/Paging_LTE.html
- [10] «Protocolo NB-IoT y su PSM». <https://programmerclick.com/article/81241515818/> (accedido nov. 21, 2021).
- [11] «Ultra Narrowband». Accedido: nov. 23, 2021. [En línea]. Disponible en: https://en.wikipedia.org/wiki/Ultra_Narrowband
- [12] «Ya queda menos para que apaguen el 2G y 3G». <https://www.adslzone.net/noticias/operadores/2g-3g-apagado-datos-2021/> (accedido nov. 08, 2021).

- [13] «Flag». Accedido: nov. 23, 2021. [En línea]. Disponible en: <https://es.wikipedia.org/wiki/Flag>
- [14] «Introducción a JSON». Accedido: nov. 22, 2021. [En línea]. Disponible en: <https://www.json.org/json-es.html>
- [15] «RFC 7230». [En línea]. Disponible en: <https://datatracker.ietf.org/doc/html/rfc7230>
- [16] «TCP». Accedido: nov. 22, 2021. [En línea]. Disponible en: <https://developer.mozilla.org/es/docs/Glossary/TCP>
- [17] «¿Qué es el protocolo IP?». Accedido: nov. 22, 2021. [En línea]. Disponible en: https://redesteleco.com/que_es_protocolo_ip/
- [18] «MQTT Version 5.0». Accedido: nov. 11, 2021. [En línea]. Disponible en: <https://docs.oasis-open.org/mqtt/mqtt/v5.0/mqtt-v5.0.html>
- [19] «HTTP Keepalive Connections and Web Performance». <https://www.nginx.com/blog/http-keepalives-and-web-performance/> (accedido nov. 13, 2021).
- [20] «EMQ Concurrent connection test». Accedido: nov. 13, 2021. [En línea]. Disponible en: <https://emq-xmeter-benchmark-en.readthedocs.io/en/latest/connection.html>
- [21] «HTTP vs MQTT: A tale of two IoT protocols». <https://cloud.google.com/blog/products/iot-devices/http-vs-mqtt-a-tale-of-two-iot-protocols> (accedido nov. 11, 2021).
- [22] «MQTT vs HTTP: ¿qué protocolo es mejor para IoT?». <https://borrowbits.com/2020/04/mqtt-vs-http-que-protocolo-es-mejor-para-iot/> (accedido nov. 11, 2021).
- [23] «Reasons and Peculiarities of Choosing MQTT Protocol for Your IoT Devices». <https://www.integrasources.com/blog/mqtt-protocol-iot-devices/> (accedido nov. 11, 2021).
- [24] «Proxy inverso». Accedido: nov. 22, 2021. [En línea]. Disponible en: https://es.wikipedia.org/wiki/Proxy_inverso
- [25] «Entorno de desarrollo integrado». [En línea]. Disponible en: https://es.wikipedia.org/wiki/Entorno_de_desarrollo_integrado
- [26] «Arquitectura ARM». Accedido: nov. 23, 2021. [En línea]. Disponible en: https://es.wikipedia.org/wiki/Arquitectura_ARM
- [27] «Docker (software)». Accedido: nov. 15, 2021. [En línea]. Disponible en: [https://es.wikipedia.org/wiki/Docker_\(software\)](https://es.wikipedia.org/wiki/Docker_(software))

- [28] «MCU de 8 bits vs. De 32 bits: cómo elegir el microcontrolador adecuado para el diseño de tu PCB». <https://resources.altium.com/es/p/8-bit-vs-32-bit-mcu-choosing-right-microcontroller-your-pcb-design> (accedido nov. 22, 2021).
- [29] «Description of STM32L4/L4+ HAL and low-layer drivers». Accedido: nov. 22, 2021. [En línea]. Disponible en: https://www.st.com/resource/en/user_manual/dm00173145-description-of-stm32l4l4-hal-and-lowlayer-drivers-stmicroelectronics.pdf
- [30] «STM32L4 – LPUART». Accedido: nov. 22, 2021. [En línea]. Disponible en: https://www.st.com/content/ccc/resource/training/technical/product_training/3e/e7/ff/f/b4/11/43/a4/STM32L4_Peripheral_LPUART.pdf/files/STM32L4_Peripheral_LPUART.pdf/jcr:content/translations/en.STM32L4_Peripheral_LPUART.pdf
- [31] «What is an 18650 Battery?». Accedido: nov. 22, 2021. [En línea]. Disponible en: <https://www.18650batterystore.com/collections/18650-batteries>
- [32] «Regulador de baja caída (LDO)». Accedido: nov. 22, 2021. [En línea]. Disponible en: [https://es.wikipedia.org/wiki/Regulador_de_baja_ca%C3%Adda_\(LDO\)](https://es.wikipedia.org/wiki/Regulador_de_baja_ca%C3%Adda_(LDO))
- [33] «I2C». Accedido: nov. 22, 2021. [En línea]. Disponible en: <https://es.wikipedia.org/wiki/I%C2%B2C>
- [34] «Tecnología de montaje superficial». Accedido: nov. 22, 2021. [En línea]. Disponible en: https://es.wikipedia.org/wiki/Tecnolog%C3%ADa_de_montaje_superficial
- [35] «Solder Paste Stenciling». Accedido: nov. 22, 2021. [En línea]. Disponible en: <https://www.sparkfun.com/tutorials/58>
- [36] «Tecnología de agujeros pasantes». Accedido: nov. 22, 2021. [En línea]. Disponible en: https://es.wikipedia.org/wiki/Tecnolog%C3%ADa_de_agujeros_pasantes
- [37] «Indicador de fuerza de la señal recibida». Accedido: nov. 22, 2021. [En línea]. Disponible en: https://es.wikipedia.org/wiki/Indicador_de_fuerza_de_la_se%C3%B1al_recibida
- [38] «Datasheet SHT3x». Accedido: nov. 22, 2021. [En línea]. Disponible en: https://www.mouser.com/datasheet/2/682/Sensirion_Humidity_Sensors_SHT3x_Datasheet_digital-971521.pdf
- [39] «Interrupción». Accedido: nov. 23, 2021. [En línea]. Disponible en: <https://es.wikipedia.org/wiki/Interrupci%C3%B3n>

- [40] «El heap y la memoria dinámica». Accedido: nov. 22, 2021. [En línea]. Disponible en: http://www.it.uc3m.es/pbasanta/asng/course_notes/ch06s03.html
- [41] «Node.js». Accedido: nov. 15, 2021. [En línea]. Disponible en: <https://es.wikipedia.org/wiki/Node.js>
- [42] «PHP». Accedido: nov. 22, 2021. [En línea]. Disponible en: <https://es.wikipedia.org/wiki/PHP>
- [43] «Documentación de ElectronJS». Accedido: nov. 22, 2021. [En línea]. Disponible en: <https://www.electronjs.org/es/docs/latest>
- [44] «NestJS Docs». Accedido: nov. 15, 2021. [En línea]. Disponible en: <https://docs.nestjs.com/>
- [45] «Why Use TimescaleDB over relational databases?» Accedido: nov. 15, 2021. [En línea]. Disponible en: <https://docs.timescale.com/timescaledb/latest/overview/how-does-it-compare/timescaledb-vs-postgres/#much-higher-ingest-rates>
- [46] «Asignación objeto-relacional». Accedido: nov. 22, 2021. [En línea]. Disponible en: https://es.wikipedia.org/wiki/Asignaci%C3%B3n_objeto-relacional
- [47] «Overview of Docker Compose». Accedido: nov. 15, 2021. [En línea]. Disponible en: <https://docs.docker.com/compose/>
- [48] «Autenticación». Accedido: nov. 22, 2021. [En línea]. Disponible en: <https://es.wikipedia.org/wiki/Autenticaci%C3%B3n>
- [49] «Autorización». Accedido: nov. 22, 2021. [En línea]. Disponible en: <https://es.wikipedia.org/wiki/Autorizaci%C3%B3n>
- [50] «Introduction to JSON Web Tokens». Accedido: nov. 22, 2021. [En línea]. Disponible en: <https://jwt.io/introduction>
- [51] «GeoJSON». Accedido: nov. 22, 2021. [En línea]. Disponible en: <https://es.wikipedia.org/wiki/GeoJSON>
- [52] «Interfaces in Object Oriented Programming Languages». Accedido: nov. 22, 2021. [En línea]. Disponible en: <https://www.cs.utah.edu/~germain/PPS/Topics/interfaces.html>
- [53] «Window localStorage». Accedido: nov. 22, 2021. [En línea]. Disponible en: <https://developer.mozilla.org/es/docs/Web/API/Window/localStorage>

- [54] «Secure Shell». Accedido: nov. 22, 2021. [En línea]. Disponible en: https://es.wikipedia.org/wiki/Secure_Shell
- [55] «Configuración inicial del servidor con Ubuntu 20.04». <https://www.digitalocean.com/community/tutorials/initial-server-setup-with-ubuntu-20-04-es> (accedido nov. 21, 2021).
- [56] «Uncomplicated Firewall». Accedido: nov. 22, 2021. [En línea]. Disponible en: https://es.wikipedia.org/wiki/Uncomplicated_Firewall
- [57] «UFW Essentials: Common Firewall Rules and Commands». <https://www.digitalocean.com/community/tutorials/ufw-essentials-common-firewall-rules-and-commands> (accedido nov. 21, 2021).
- [58] «How To Install and Use Docker on Ubuntu 20.04». <https://www.digitalocean.com/community/tutorials/how-to-install-and-use-docker-on-ubuntu-20-04> (accedido nov. 21, 2021).
- [59] «Sistema de nombres de dominio». Accedido: nov. 22, 2021. [En línea]. Disponible en: https://es.wikipedia.org/wiki/Sistema_de_nombres_de_dominio
- [60] «SSH File Transfer Protocol». Accedido: nov. 22, 2021. [En línea]. Disponible en: https://es.wikipedia.org/wiki/SSH_File_Transfer_Protocol
- [61] «Tecnología push». Accedido: nov. 23, 2021. [En línea]. Disponible en: https://es.wikipedia.org/wiki/Tecnolog%C3%ADa_push
- [62] «Learn, Why your circuit stops working after sometime | Dry Solder Joints». <https://www.raviyp.com/learn-why-your-circuit-stops-working-after-sometime-dry-solder-joints/> (accedido nov. 12, 2021).
- [63] «Reverse Voltage Protection for Battery Chargers». Accedido: nov. 22, 2021. [En línea]. Disponible en: https://www.analog.com/media/en/technical-documentation/application-notes/AN-171_AN-1568.pdf
- [64] «Si2333DS Datasheet». Accedido: nov. 22, 2021. [En línea]. Disponible en: <https://www.vishay.com/docs/72023/72023.pdf>
- [65] «DMP510DL Datasheet». Accedido: nov. 22, 2021. [En línea]. Disponible en: <https://www.diodes.com/assets/Datasheets/DMP510DL.pdf>

- [66] «Up to 5 W solar battery charger for single-cell Li-ion and Li-Po batteries based on the SPV1040 and L6924D». Accedido: nov. 22, 2021. [En línea]. Disponible en: https://www.st.com/resource/en/data_brief/steval-isv012v1.pdf
- [67] «STM32L431xx Datasheet». Accedido: nov. 22, 2021. [En línea]. Disponible en: <https://eu.mouser.com/datasheet/2/389/dm00257211-1798949.pdf>
- [68] «SIM7000 Hardware Design». Accedido: nov. 22, 2021. [En línea]. Disponible en: https://www.waveshare.com/w/upload/6/61/SIM7000_Hardware_Design_V1.04.pdf
- [69] Luigi Degiorgis, «Design of a low-power, low-cost leaf wetness sensor for smart agriculture application», Politecnico di Torino. [En línea]. Disponible en: <https://webthesis.-biblio.polito.it/10992/1/tesi.pdf>
- [70] «Condensador variable». <http://joseal-medicionesindustriales.blogspot.com/2008/06/211-condensador-variable.html> (accedido nov. 16, 2021).
- [71] «Condensador eléctrico». Accedido: nov. 16, 2021. [En línea]. Disponible en: https://es.wikipedia.org/wiki/Condensador_el%C3%A9ctrico
- [72] «Constante dieléctrica». Accedido: nov. 16, 2021. [En línea]. Disponible en: https://es.wikipedia.org/wiki/Constante_diel%C3%A9ctrica
- [73] «Hypertext Transfer Protocol (HTTP)». Accedido: nov. 11, 2021. [En línea]. Disponible en: <https://www.extrahop.com/resources/protocols/http/>
- [74] «Generalidades del protocolo HTTP». Accedido: nov. 11, 2021. [En línea]. Disponible en: <https://developer.mozilla.org/es/docs/Web/HTTP/Overview>

Índice de figuras

Figura 1: Diagrama de arquitectura.....	14
Figura 2: Placa de desarrollo Nucleo L476RG.....	16
Figura 3: Shield DFRobot SIM7000.....	16
Figura 4: Diagrama de bloques.....	17
Figura 5: Detalle de la interfaz del CAD de esquemático de KiCad.....	19
Figura 6: <i>Render</i> 3D de la <i>PCB</i> diseñada.....	20
Figura 7: Vista anterior de la <i>PCB</i> fabricada.....	21
Figura 8: Vista posterior de la <i>PCB</i> fabricada.....	21
Figura 9: <i>PCB</i> con los componentes montados.....	21
Figura 10: Interfaz del IDE Mbed Studio.....	25
Figura 11: Detalle del IDE Visual Studio Code.....	30
Figura 12: Detalle de la vista de una finca en la interfaz gráfica.....	31
Figura 13: Vista de una finca en la pantalla del listado de fincas de un cliente.....	32
Figura 14: Prototipo personalizado basado en Arduino.....	45
Figura 15: Prototipo electrónico montado en su carcasa para su instalación en el campo.....	45
Figura 16: Dispositivo sensor en el campo tras más de 1 año instalado.....	47
Figura 17: Circuito de protección de polaridad invertida.....	49
Figura 18: Divisor resistivo para sensor de humectación.....	52
Figura 19: Sensor resistivo de humectación de hoja.....	52
Figura 20: Circuito oscilador ICM7555 para la medición de capacidad de un condensador variable	54
Figura 21: Sensor de humectación de hoja definitivo.....	55
Figura 22: Diagrama entidad relación de la base de datos.....	57

Índice de tablas

Tabla 1: Resumen de la comparación entre HTTP y MQTT.....	12
---	----

Anexo I: Prueba de concepto

En este anexo comentamos los trabajos más relevantes realizados desde la concepción de la idea del proyecto, hasta antes de comenzar el prototipo detallado en esta memoria, puesto que han servido como base para aprender a diseñar placas de circuito impreso, y los errores cometidos han servido para enfocar algunas cosas de diferente forma.

I.1. Prototipo con Arduino

Se comenzó trabajando con un Arduino UNO, una *shield* con el módulo GSM SIM900 para dotar de conectividad móvil al Arduino, y el sensor de humedad y temperatura Aosong AM2305. Se utilizó la librería de Arduino pública TinyGSM¹ para manejar el módulo GSM, y la librería de Adafruit para sensores DHTxx², para leer datos del sensor, ya que el AM2305 implementa el mismo protocolo de comunicación que el DHT22. Se montó un prototipo sencillo capaz de enviar la lectura del sensor a un servidor mediante una petición POST vía HTTP con el contenido en formato JSON.

I.2. Arduino personalizado

Estudiando formas de alimentar un Arduino mediante batería y usar los modos de bajo consumo del procesador se llegó a la conclusión de que las placas de desarrollo de Arduino, como tal, no están preparadas para eso, ya que incluyen componentes como el regulador de voltaje, que tienen un consumo demasiado elevado en modo inactivo, lo cual agotaría la batería en cuestión de días por si solo. Por tal motivo decidí comenzar a estudiar diseño de placas de circuito impresas, para diseñar y ensamblar un *Arduino personalizado*, que integrase el módulo GSM, un regulador de tensión adecuado para ser alimentado con una batería LiPo o Li-Ion y un integrado para la carga de la propia batería mediante una placa solar.

Tras varias iteraciones fallidas del proceso de diseño, encargo de fabricación de las PCB a China, y soldadura de los componentes, se consiguió un prototipo funcional en el que se podía cargar y ejecutar código desde el IDE de Arduino, así como obtener la misma funcionalidad que había conseguido con el Arduino original. Es decir, se podía conectar a Internet mediante un módulo GSM similar al SIM900, en este caso el SIM800C, leer datos de un sensor de temperatura y humedad, en este caso el HTU21D.

1 <https://github.com/vshymanskyy/TinyGSM>

2 <https://github.com/adafruit/DHT-sensor-library>

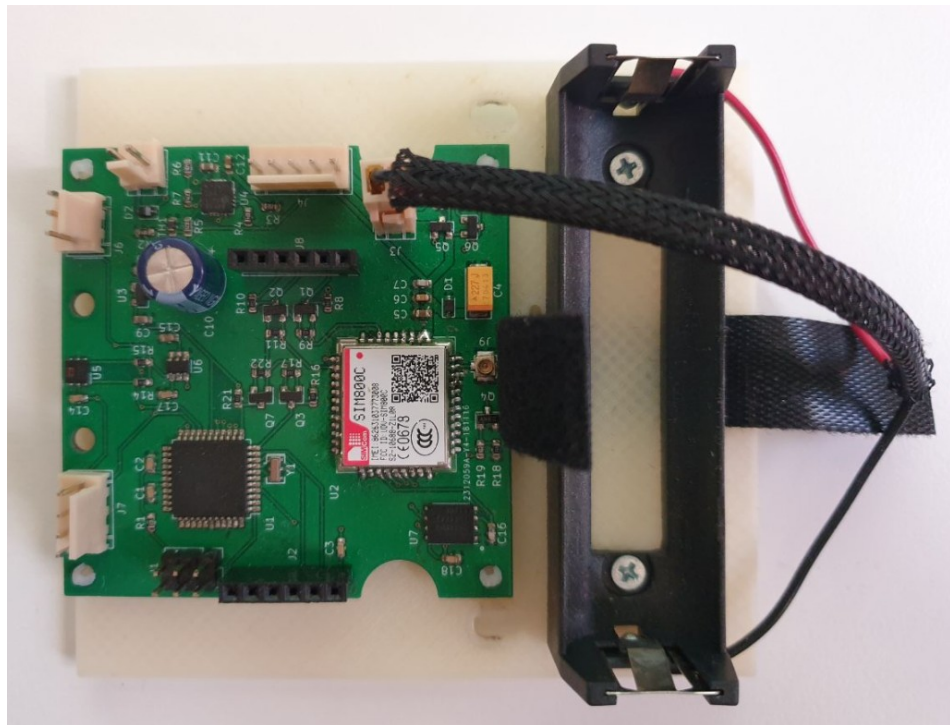


Figura 14: Prototipo personalizado basado en Arduino

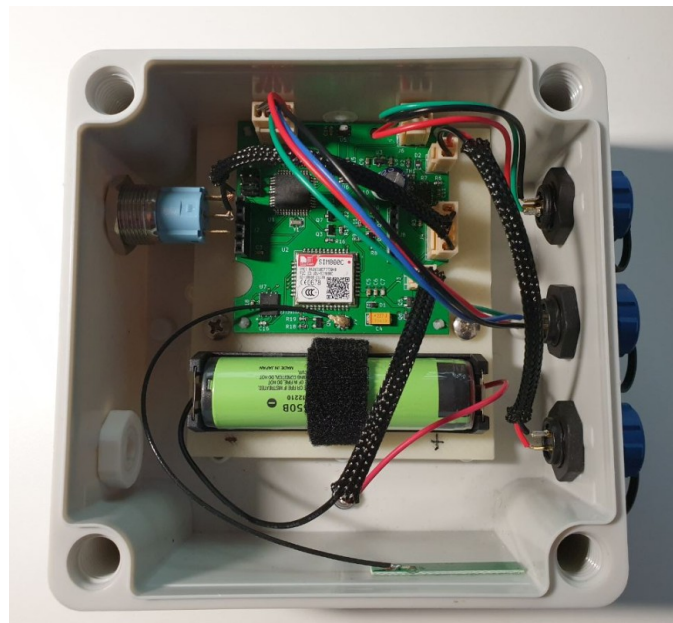


Figura 15: Prototipo electrónico montado en su carcasa para su instalación en el campo

I.3. Pruebas de campo

En la Figura 14 se ve el prototipo mencionado anteriormente, montado sobre una base impresa en 3D para adaptarlo a una carcasa genérica. Este dispositivo se ideó inicialmente para su montaje en otra carcasa, por eso tiene el corte de dos semicircunferencias en sus

bordes que no tiene utilidad aparente. Finalmente, fue más fácil conseguir unas carcasa con otra forma, un poco más grandes, y se diseñó en 3D una base sobre la que anclar la PCB y el soporte de la batería, y que a su vez tuviera agujeros coincidentes con los de la carcasa, para poder anclar todo a ésta. También eran dispositivos pensados para conectar sensores externos mediante conectores resistentes al agua, como se aprecia en la Figura 15.

Una vez montados, se pusieron a funcionar en el campo varios de estos sensores conectados a una placa solar para cargarlos. Como se puede ver en la Figura 16, los dispositivos no envejecieron bien. El dispositivo de la imagen llevaba instalado más de un año, y es cierto que nunca consiguió entrar el agua en su interior, tampoco hay ningún signo de corrosión en el interior, por lo que el montaje y las carcasa cumplieron su función muy bien. Sin embargo, hubo diversos problemas, el primero y evidente a simple vista es que el sensor de humectación de hoja se oxidaba, y sucedía a las pocas semanas. Se explica más en detalle la evolución del proceso de diseño de este sensor en el anexo “Diseño de un sensor de humectación de hoja”. Esta oxidación deterioraba consigo la lectura del sensor, por lo que se volvía inservible.



Figura 16: Dispositivo sensor en el campo tras más de 1 año instalado

Por otro lado, algunos de los dispositivos empezaron a dejar de funcionar. Afortunadamente se había dispuesto un botón para encender y apagar los dispositivos fácilmente, por lo que se podían reiniciar, lo cual los devolvía a la vida. Era un problema de fiabilidad del software, que en ciertas situaciones hacía cosas “raras”. Sin embargo, al cabo de las semanas y los meses, algunos de los dispositivos no reaccionaban a los reinicios, a pesar de que las últimas lecturas que habían dejado no mostraban que la batería se hubiera agotado. Tras traerlos al laboratorio y ver qué sucedía, algunos de ellos volvían a funcionar en el entorno de laboratorio casi milagrosamente, lo cual puso muy difícil el proceso de depuración para saber qué era lo que estaba pasando. Tras investigar acerca de lo que podía estar sucediendo, descubrí una entrada de un blog muy interesante: “*Learn, Why your circuit stops working after sometime | Dry Solder Joints*”³, que explicaba exactamente el problema que estaba teniendo, y es que había problemas con las soldaduras. Además de que el equipamiento que se había utilizado para realizar las soldaduras no era el más profesional posible, había otra causa aún más probable: se había usado una pasta de soldadura que llevaba mucho tiempo almacenada, lo que podía haber provocado que hubiera soldaduras frías, que generaban los problemas de fiabilidad en el hardware del dispositivo. Ésto, unido a los problemas de software sufridos, llevó a tratar de desarrollar un dispositivo mejorado en todos los sentidos, reutilizando algunos de los subcircuitos que habían funcionado bien y tratando de mejorar otros aspectos, eliminando fuentes de problemas y actualizando la conectividad, ante un apagón de las redes GSM cada vez más cercano.

³ <https://www.raviyp.com/learn-why-your-circuit-stops-working-after-sometime-dry-solder-joints/> [62]

Anexo II: Detalles de diseño del dispositivo electrónico

En este anexo se detallan las decisiones de diseño más importantes, y el funcionamiento de algunos circuitos. No se hace público el diseño completo del dispositivo por tratarse de un proyecto realizado en una empresa, que quiere preservar el secreto industrial.

II.1. Circuitos de alimentación

En cuanto a la alimentación del dispositivo, se ha dispuesto un receptáculo para batería Li-Ion de tipo 18650. Para proteger el circuito y la batería, ante un eventual fallo al insertarla en el receptáculo con la polaridad invertida, se ha utilizado el circuito que se muestra en la Figura 17, que permite el paso de la corriente en ambos sentidos (cuando la batería entrega corriente hacia VBAT, y cuando la batería recibe corriente de VBAT porque está siendo cargada) cuando la batería está con la polaridad correcta. Y corta el paso de la corriente también en ambos sentidos cuando la batería está con la polaridad invertida. Una vez montado el prototipo se ha comprobado en laboratorio que al colocar la batería con la polaridad invertida, el voltaje en VBAT era mayor de -0.3v, por lo que se puede considerar que el circuito funciona como se esperaba. Por supuesto, tras hacer esto ni la batería ni el circuito han sufrido daños aparentes.

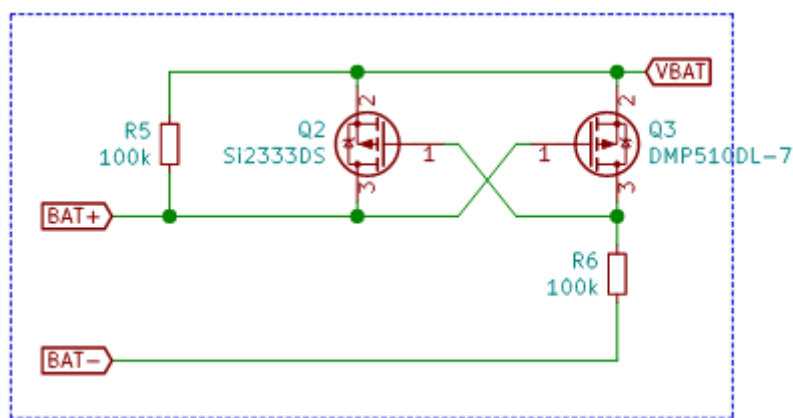


Figura 17: Circuito de protección de polaridad invertida

El circuito está basado en la nota de aplicación 171 de Analog Devices [63]. Se han seleccionado los MOSFET con características más similares que se han podido encontrar. El circuito consiste en dos MOSFET de canal P, el Q3 que detecta la polaridad invertida, y el

Q2, que bloquea el paso de corriente y que posee una R_{DS} muy baja en la región ohmica ($42m\Omega$)⁴ para reducir la caída de tensión cuando la batería está polarizada correctamente.

Si la batería está invertida, y suponemos una R_L del circuito mucho menor que R_5 , el V_{GS} en Q3 es aproximadamente el voltaje de la batería invertido (-3.6V), y aún menor si el circuito de carga está activo. $-3.6V < V_{TH} = -2V$, por lo que Q3 conduce, haciendo $V_{GS} = 0$ en Q2, no permitiendo el paso de la corriente entre BAT+ y VBAT. En el caso de que la batería esté correctamente colocada, $V_{GS} = 0$ en Q3, por lo que en Q2 $V_{GS} = -3.6V < V_{TH} = -1V$, así que Q2 está en región óhmica, y deja pasar la corriente entre BAT+ y VBAT. Además de este circuito de protección, se ha añadido un diodo led rojo para advertir de que la batería no está instalada correctamente, que se polariza cuando la batería está con la polaridad invertida y permanece apagado cuando la batería está correctamente instalada.

En cuanto a la alimentación del microcontrolador, los sensores, y otros componentes, por sencillez, se ha optado por un regulador de tensión LDO de 3.3v con una caída de tensión típica de menos de 200mV, por lo que sirve para nuestra aplicación si asumimos que la batería no caiga de su valor nominal de 3.6v. Concretamente se ha optado por el MCP1700 de la empresa Microchip, que además de la baja caída mencionada, tiene una corriente inactiva de tan solo 1.6uA, por lo que el impacto en la vida de la batería cuando el dispositivo está dormido es mínimo.

El subcircuito de la carga de la batería consta de dos partes, un recolector de energía con algoritmo MPPT: SPV1040T de STMicroelectronics, que se encarga de recolectar la energía de una placa solar con tensión de salida entre 0.3V y 5.5V y elevar el voltaje hasta el valor configurado mediante unas resistencias. Con el algoritmo MPPT integrado, este chip es capaz de optimizar la potencia obtenida de la placa solar, haciéndola trabajar en el punto de máxima potencia, ajustando la carga aparente para la placa solar. Se seleccionaron las resistencias que ajustan el voltaje de salida para sacar 4.45V.

Esta salida se conecta con un circuito de carga de batería basado en el integrado BQ24210DQR de Texas Instruments. Tras realizar las pruebas de este circuito y examinar a fondo el *datasheet*, se llegó a la conclusión de que fue una mala elección, ya que se malentendió una parte de la documentación acerca de la capacidad de ajustar la corriente de carga, pero no era de esa forma. Por lo que el circuito de carga solo funciona de manera efectiva cuando la potencia entregada por la placa solar es mayor de cierto umbral. Si

⁴ Este valor R_{DS} , y los valores de V_{TH} se han obtenido de los *datasheet* de los MOSFET utilizados [64], [65].

se volviera a diseñar hoy, escogería el integrado L6924D de STMicroelectronics, que es más adecuado para ese propósito, como se muestra en esta nota de aplicación: [66]

II.2. Microcontrolador y comunicaciones

El microcontrolador elegido es el STM32L431RCT de STMicroelectronics. La elección se ha basado en las pruebas realizadas previamente con una placa de desarrollo que tenía un microcontrolador de la misma familia. Se ha elegido éste atendiendo a los periféricos que incluía, memoria de programa y memoria RAM, ya que tras desarrollar el software inicial se observó que el microcontrolador utilizado (que era el más completo de la gama), tenía muchas cosas que no estábamos utilizando, por lo que se buscó uno menos sobre dimensionado para reducir un poco el coste. Todo lo relacionado con el micro, como los condensadores de desacoplo, el cristal para el oscilador, y los conectores necesarios para su uso, se han elegido siguiendo las recomendaciones del fabricante en el *datasheet* [67], por lo que no tienen mucho interés.

Como se ha mencionado en otras partes del trabajo, el módulo utilizado para las comunicaciones móviles es el SIM7000, concretamente la versión europea SIM7000E. El diseño alrededor de este módulo se ha realizado siguiendo las guías del fabricante SimCom [68]. Se ha utilizado un receptáculo para nano-sim genérico, de una marca china, junto con un filtro EMI integrado de la marca Texas Instruments, específico para su uso en las líneas de datos de una SIM. Dado que el microcontrolador de nuestro circuito se alimenta a 3.3v, y los pines digitales del módulo SIM7000 funcionan a 1.8v, hemos utilizado el conversor de nivel TXB0104D con 4 canales de Texas Instruments, para las conexiones de recepción y transmisión UART, y las conexiones digitales para conocer el estado del módulo y para activar el modo sleep.

Anexo III: Diseño de un sensor de humectación de hoja

La medición de la humectación de hoja es muy importante para algunos modelos de predicción de enfermedades fúngicas, ya que la cantidad de horas que las hojas permanecen húmedas en ciertas condiciones de temperatura, pueden marcar la diferencia entre la proliferación masiva de hongos, o que no haya ningún problema.

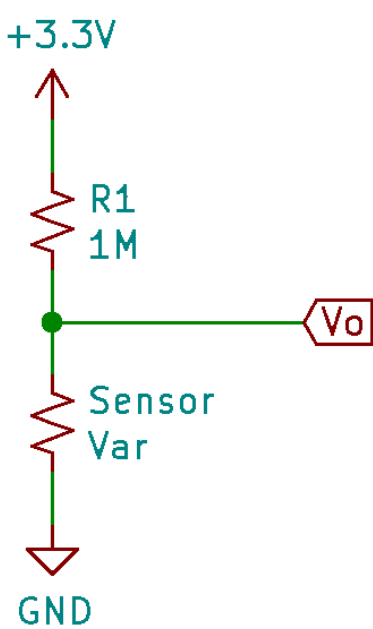


Figura 18: Divisor resistivo para sensor de humectación



Figura 19: Sensor resistivo de humectación de hoja

En un primer momento del desarrollo se probó un sensor de tipo resistivo, que consistía en un patrón interdigital, concretamente el sensor de la Figura 19, fabricado por Hobby Boards⁵ El funcionamiento de este sensor se basa en la variación de la resistencia entre los dos bornes. En seco, esta resistencia es idealmente infinito, pero en presencia de rocío o escarcha, el agua permite cierto paso de la corriente entre las pistas, por lo que la resistencia disminuye.

Tomando como referencia el circuito de la Figura 18, si leemos el voltaje Vo cuando está seco, este será de 3.3v, puesto que no pasa corriente por el sensor y no hay caída de tensión. Si suponemos que el sensor sumergido en agua tiene una resistencia de 100k, la lectura en Vo en esas condiciones sería $0,09 \times 3,3v = 0,3v$. De este modo podemos calibrar

⁵ <https://hobbyboards.com/> - En la actualidad, el sitio web se encuentra inactivo, y ya no fabrican ni venden este producto.

los diferentes estados del sensor que entregarán una lectura V_o entre 0,3v y 3,3v. Tras probar el sensor en laboratorio, y validar su funcionamiento, se diseñó uno casi igual, pero con el divisor resistivo incorporado, y un agujero para su montaje más alejado del elemento sensor. Éste es el que finalmente se instaló en el campo en las primeras pruebas.

Sin embargo, este sensor tenía importantes problemas. Por un lado su comportamiento estaba muy lejos de ser lineal, pero lo realmente grave es que las pistas, a pesar de estar chapadas en oro, se oxidaban a los pocos días de estar a la intemperie, y la capa de óxido variaba las lecturas del sensor, lo que lo volvía inservible. Por todo ello, investigando sobre sensores comerciales de este tipo, se vio que son de tipo capacitivo, y no resistivo. También se vio que el coste era de en torno a 100€ la unidad, lo cual se escapaba del presupuesto, por lo que decidimos diseñar uno, basado en el resultado de una tesis de máster del Politecnico di Torino [69].

Un sensor de humedad capacitivo se basa en el principio de funcionamiento de un condensador. Las pistas eléctricas tienen una forma similar a las del sensor resistivo, sin embargo están cubiertas de un material aislante, como por ejemplo la máscara de soldadura. Estas pistas interdigitales actúan como las placas de un condensador. Al ser las placas del condensador de un grosor mínimo, el efecto de borde⁶ tiene mucho peso en la capacidad total del condensador, y precisamente nos aprovechamos de este efecto, ya que la superficie que se encuentra encima de lo que sería el condensador ideal, que es la superficie del sensor, es precisamente donde queremos medir la presencia de agua, y gracias al efecto de borde, en presencia de agua, la capacidad del condensador se incrementa notablemente, ya que la constante dieléctrica del agua ($\epsilon_r = 78,5$) es muy superior a la del aire ($\epsilon_r = 1,0$). [71], [72]

Una vez que tenemos un condensador variable, podemos utilizarlo en el circuito RC de un oscilador, y leer la frecuencia de salida para detectar las variaciones de la humedad encima del sensor. En la Figura 20 se puede observar el circuito utilizado para la medición de la capacidad del condensador variable, que permite detectar la presencia de agua en la superficie del sensor. La conexión nombrada como C+ es uno de los polos del condensador, y el otro está conectado a GND. Como se puede observar hay un condensador C1 de tipo NP0, cuya capacidad varía lo mínimo posible con la temperatura, en paralelo con el condensador sensor. Este condensador C1 tiene un valor decidido tras haber probado el

⁶ El efecto de borde de un condensador, es un efecto, normalmente indeseado, que se produce en los bordes de un condensador de placas paralelas, y que consiste en el desvío de las líneas de campo eléctrico en el borde de las placas, haciendo que las líneas no se comporten de forma perpendicular a dichas placas. [70]

sensor sin ningún condensador montado, y su propósito es aumentar la capacidad del circuito RC del oscilador, para que trabaje en la región lineal, puesto que si la capacidad del condensador del circuito RC es demasiado pequeña, el circuito trabaja en una región no lineal y la variación de capacidad no se reflejaría linealmente en la variación de frecuencia.

La capacidad era de apenas unos pF en seco, y según el *datasheet*⁷, con una resistencia de 1MOhm, el comportamiento empieza a ser lineal a partir de los 100pF aproximadamente, por lo que necesitábamos añadir un condensador en paralelo para sumar las capacidades y hacer trabajar al oscilador en la región lineal.

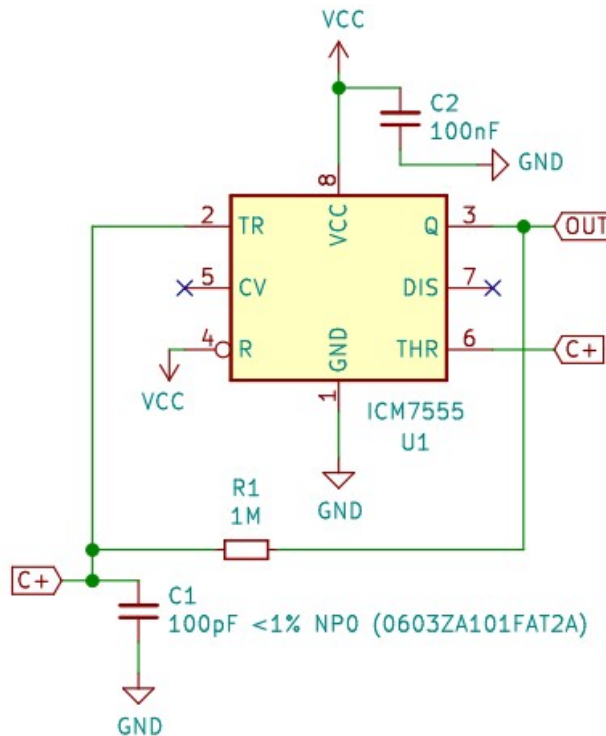


Figura 20: Circuito oscilador ICM7555 para la medición de capacidad de un condensador variable

A la salida del circuito, el punto eléctrico OUT, tenemos una onda cuadrada con frecuencia variable, en función de la cantidad de agua líquida que se encuentra en la superficie del sensor. Al medir la frecuencia con un dispositivo electrónico, podemos calibrar la frecuencia cuando el sensor está completamente seco, y cuando el sensor está completa-

7 <https://www.renesas.com/us/en/document/dst/icm7555-icm7556-datasheet>

mente cubierto de agua, para poder obtener una medición del porcentaje de humectación de las hojas, tal y como hemos detallado en la sección 3.3.6.

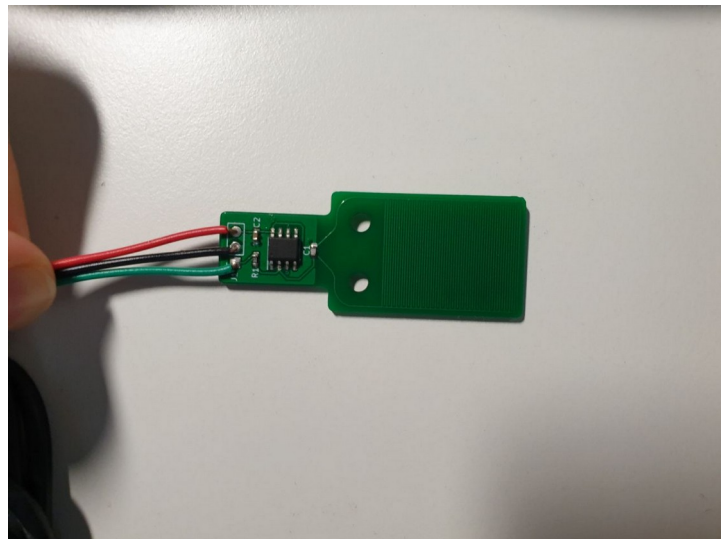


Figura 21: Sensor de humectación de hoja definitivo

En la Figura 21 se puede ver el diseño del sensor definitivo. Cabe señalar que la parte más estrecha, donde se encuentra el chip integrado y los condensadores y la resistencia del circuito RC, van cubiertos por un trozo de tubo termoretráctil con adhesivo, para proteger la electrónica de la entrada de agua y otros agentes, pero se muestra así para que se puedan apreciar los componentes del circuito.

Anexo IV: Valoración de costes

En algunas partes de este trabajo se ha mencionado que buscábamos conseguir un dispositivo de bajo coste. El objetivo inicial era un coste máximo de entre 100-150€ por dispositivo completo con sensores, para poder competir a un precio atractivo con las alternativas existentes. En este anexo detallamos algunos de los costes más importantes del dispositivo y vemos si estamos cerca de nuestro objetivo inicial o no.

Basado en precios reales pagados a proveedores en Alibaba, una carcasa genérica con agujeros personalizados con cortes por CNC⁸ costaron unos 11€ por unidad. Un botón resistente al agua para encender y apagar el dispositivo, 3€ por unidad. Los conectores exteriores resistentes al agua cuestan 4€ por pareja (macho y hembra), por lo que serían 12€ por dispositivo, considerando la conexión de 2 sensores externos y una placa solar. El sensor de humectación de hoja diseñado se estima en 10€, incluyendo el coste de fabricación de la placa de circuito, componentes, cable y termoretráctil, y el sensor de temperatura y humedad ya encapsulado para ser resistente al agua se ha comprado por 15€ cada unidad. Placas solares de 1W protegidas con estructura de aluminio y vidrio, con soporte para instalación se han comprado por 12€ cada unidad. Calculando el total del coste de los componentes electrónicos utilizados, y sumando 15€ para el coste de la PCB y el montaje de los componentes, estimamos aproximadamente 60€.

Sumando todo lo anterior tendríamos un total de 123€. A estos costes habría que añadir el coste de montar la placa de circuito en la carcasa, de la instalación de cables interiores para conectar los conectores exteriores con la placa, y del montaje de los conectores externos en los cables de los sensores y la placa solar. Es posible que añadiendo estos costes sobrepasemos ligeramente los 150€ marcados como máximo. Sin embargo, hay que tener en cuenta que las compras indicadas se han realizado en lotes pequeños, de entre 10-30 unidades, por lo que no nos hemos beneficiado de economías de escala, y hemos pagado un sobre coste unitario muy alto por los costes de envío. Por lo que, considero que quizás recortando en algunos costes, como el módulo de conectividad inalámbrica o la placa solar, y aprovechando las economías de escala fabricando lotes de 100 unidades o más, sería perfectamente posible conseguir fabricar un dispositivo con la funcionalidad deseada por menos de 150€.

⁸ El Control Numérico por Computador se refiere a sistemas que operan máquinas mediante comandos programados. Normalmente son máquinas capaces de realizar tareas con mucha precisión.

Anexo V: Estructura de datos. Modelo entidad-relación

Se ha modelado la estructura de los datos utilizando la sintaxis del ORM Prisma, en un archivo schema.prisma. En la Figura 22 se muestra el diagrama de entidad-relación que hemos obtenido.

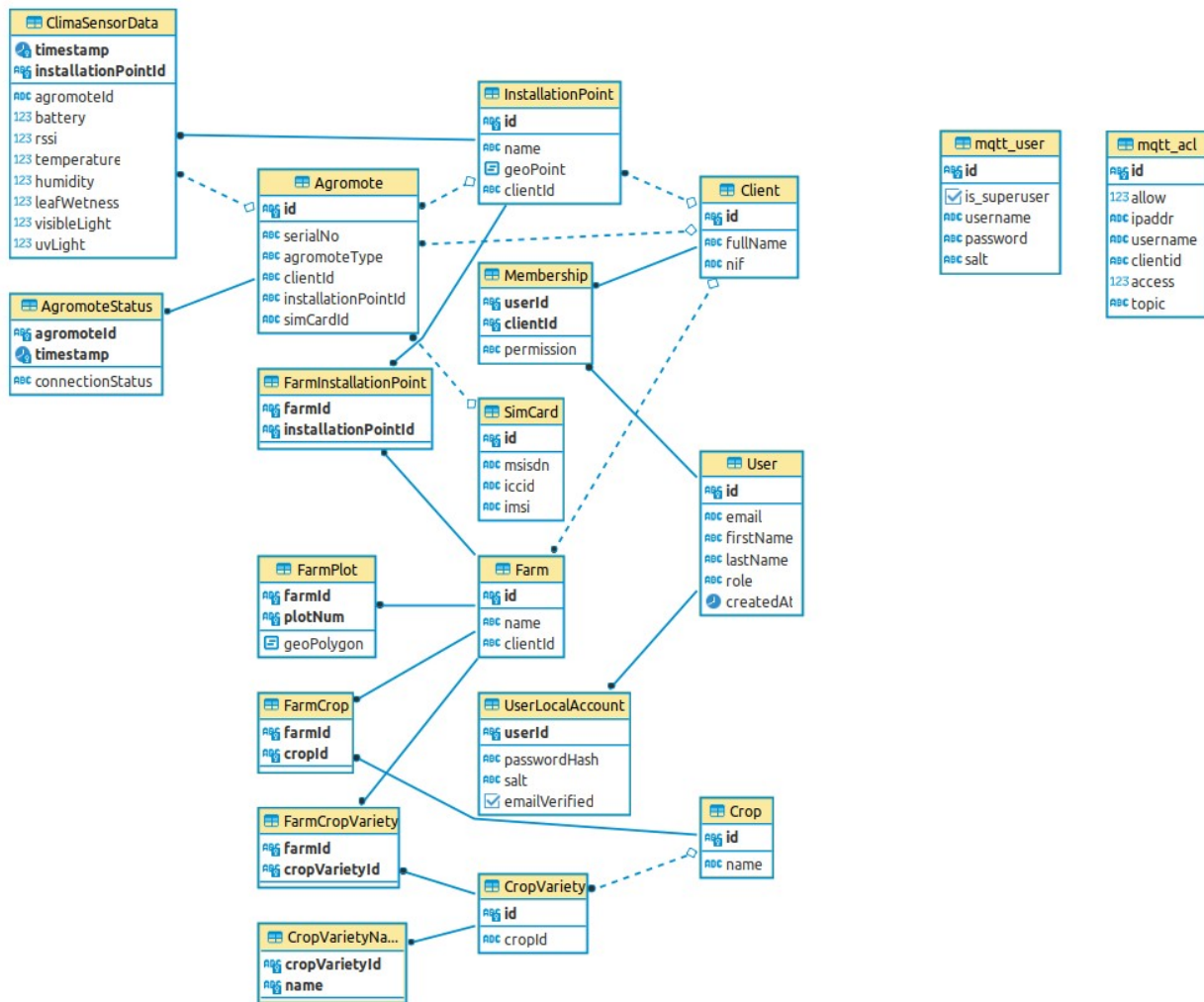


Figura 22: Diagrama entidad relación de la base de datos